

پروتکل احراز هویت متقابل امن و سبک برای شبکه‌های حسگر بی‌سیم

دانشجوی کارشناسی فناوری اطلاعات

مهدی غلامی وثیق www.mahdigholamivaisgh@gmail.com

دانشگاه جامع علمی کاربردی خانه کارگر کرج

چکیده:

شبکه‌های حسگر بی‌سیم (WSN) به طور گسترده‌ای برای ارائه سرویس‌های مناسب مانند مراقبت‌های بهداشتی، خانه‌های هوشمند و... استفاده می‌شوند. برای ارائه سرویس‌های مناسب، گره‌های حسگر در محیط‌های WSN، داده‌های سنجش را جمع‌آوری و به دروازه می‌فرستند. هرچند که، دارای یکسری مشکلات امنیتی نیز می‌باشند، چراکه پیام‌های حساس را از طریق کانالی ناامن رد و بدل می‌کنند. بنابراین، پروتکل‌های اعتبارسنجی امن برای جلوگیری از نقص امنیتی در WSN‌ها ضروری هستند. در سال ۲۰۲۰، مقدم و همکاران طرحی احراز هویتی کارآمد و کلیدی در WSN را پیشنهاد دادند. متأسفانه، متوجه شدیم که طرح مقدم و همکاران نمی‌تواند از حملات نشأت اعداد تصادفی داخلی و خاص جلوگیری کند. ما همچنین ثابت می‌کنیم که طرح مقدم و همکاران از محرمانگی پیشرو کامل اطمینانی حاصل نمی‌کند. برای جلوگیری از آسیب‌پذیری‌های امنیتی طرح مقدم و همکاران، ما یک پروتکل احراز هویت متقابل امن و سبک را برای WSN‌ها (WSN-SLAP) پیشنهاد می‌کنیم. WSN-SLAP در برابر مشکلات مختلف امنیتی مقاومت و همچنین محرمانگی کامل و احراز هویت متقابل را ایجاد می‌کند. با استفاده از منطق Burrows-Abadi-Needham (BAN)، مدل Real-یا-Random (ROR) و تأیید خودکار پروتکل‌ها و برنامه‌های امنیتی اینترنت (AVISPA)، امنیت WSN-SLAP را ثابت می‌کنیم. علاوه بر این، عملکرد WSN-SLAP را در مقایسه با پروتکل‌های مرتبط موجود ارزیابی می‌کنیم و نشان می‌دهیم که WSN-SLAP نسبت به پروتکل‌های قبلی برای محیط‌های WSN امن‌تر و مناسب‌تر هستند.

کلمات کلیدی: احراز هویت متقابل؛ شبکه‌های حسگر بی‌سیم؛ BAN منطبق، مدل ROR: AVISPA.

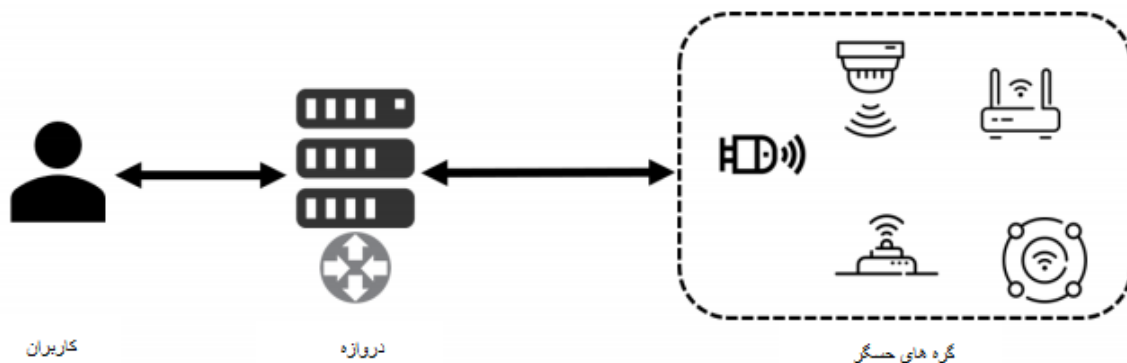
۱. مقدمه :

نمونه‌ای از توسعه سریع فن‌آوری ارتباطات بیسیم، شبکه‌های حسگر بیسیم (WSN) می‌باشد که می‌توان آن را در محیط‌های مختلف مانند شبکه‌های هوشمند، خانه‌های هوشمند، صنعت کشاورزی، اینترنت اشیا (IoT) و بهداشت و درمان استفاده کرد [۱-۵]. افراد می‌توانند با بهره‌گیری از محیط‌های WSN به زندگی بهتری دست پیدا کنند. به طور کلی، محیط‌های WSN از گره‌های حسگر، یک دروازه و کاربران تشکیل می‌شود، همانطور که در شکل ۱ نشان داده شده است. گره‌های حسگر محیط اطراف خود را شناسایی و کنترل می‌کنند. سپس، گره‌های حسگر داده‌های نظارت شده را به دروازه انتقال می‌دهند. دروازه پیام بین گره‌های حسگر و کاربران رله و تحلیل می‌کند. همچنین این درگاه اطلاعات خصوصی گره‌های حسگر و کاربران را برای ارائه خدمات ایمن مدیریت می‌کند. کاربران می‌توانند از طریق دروازه به داده‌های جمع‌آوری شده توسط گره‌های حسگر دسترسی پیدا کنند.

نمونه‌ای از محیط برنامه در WSN خدمات مراقبت‌های بهداشتی است. حسگرهای پوشیدنی متصل به بیمار، وضعیت سلامتی بیمار را تجزیه و تحلیل و سپس، این حسگرها اطلاعات جمع‌آوری شده را برای پزشک ارسال می‌کنند. با این حال، این سرویس

ها می‌توانند در معرض حملات امنیتی مختلف قرار بگیرند زیرا هر موجودیت از طریق یک کانال عمومی اطلاعات را رد و بدل می‌کند. اگر دشمنی پیام‌ها را در WSN رهگیری کند، می‌تواند خود را به عنوان یک کاربر قانونی بدل کرده و پیام نادرستی را به گره سنسور ارسال کند. علاوه بر این، اگر یک دشمن به عنوان یک شخص حقوقی در دروازه ثبت نام کند، می‌تواند سعی کند اطلاعات حساس کاربر قانونی دیگر را بدست آورد. بنابراین، ما به یک پروتکل احراز هویت نیاز داریم که بتواند خدمات ایمنی را ارائه دهد و از حملات مختلف در محیط WSN جلوگیری کند.

در سال ۲۰۲۰، مقدم و همکاران [۶] طرح احراز هویت و توافق نامه کلیدی را برای محیط‌های WSN با استفاده از منحنی بیضوی Diffie-Hellman (ECDH) پیشنهاد کردند [۷]. آنها نشان دادند که طرح آنها در برابر حملات امنیتی مختلف مانند تکرار، حدس رمز عبور، تأیید کننده سرقت، و حملات (MITM) کارآمد و امن می‌باشد. با این حال، متوجه می‌شویم که طرح مقدم و همکاران امنیت در برابر حملات داخلی و حملات نشأت اعداد تصادفی خاص-جلسه را تأمین نمی‌کند. و همچنین ثابت می‌کنیم که طرح مقدم و همکاران از محرمانگی کامل پیشرو پشتیبانی نمی‌کند. علاوه بر این، هر موجودیت برای محاسبه کلید جلسه در طرح مقدم و همکاران، عملیات ضرب (Elliptic Curve Cryptography (ECC را انجام می‌دهد. با این وجود ECC به هزینه‌های محاسباتی سنگینی نیاز دارد. از آنجا که گره‌های حسگر دارای قابلیت محاسبه و ذخیره سازی کم در یک محیط WSN هستند، ما نمی‌توانیم با استفاده از ECC در محیط WSN از ارتباطات در زمان واقعی اطمینان حاصل کنیم. بنابراین، استفاده از طرح مقدم و همکاران، ارائه خدمات کارآمد را دشوار می‌کند. برای بهبود آسیب پذیری‌های امنیتی و کاهش هزینه محاسباتی طرح مقدم و همکاران، ما یک پروتکل احراز هویت متقابل امن و سبک (WSN-SLAP) را با توجه به ویژگی‌های امنیتی و کارایی با استفاده از توابع hash و عملیات XOR پیشنهاد می‌کنیم.



شکل ۱. مدل سیستم در شبکه‌های حسگر بی سیم (WSN).

۱.۱ مشارکت‌ها:

مشارکت‌های مقاله ما به شرح زیر است.

- ما آسیب‌پذیری‌های امنیتی طرح مقدم و همکاران را تحلیل و اثبات می‌کنیم.
- سپس، WSN-SLAP را برای حل آسیب‌پذیری‌های امنیتی طرح مقدم و همکاران پیشنهاد می‌کنیم.
- احراز هویت متقابل WSN-SLAP را با استفاده از منطق Burrows – Abadi – Needham (BAN) نشان می‌دهیم [۸].
- امنیت کلید جلسه WSN-SLAP را با استفاده از مدل Real-or-Random (ROR) اثبات می‌کنیم [۹].
- برای اثبات ویژگی‌های امنیتی WSN-SLAP در برابر حملات پخش و MITM، از تأیید خودکار پروتکل‌ها و برنامه‌های امنیتی اینترنت [10] AVISPA، [11] استفاده می‌کنیم.
- هزینه ارتباطات، هزینه محاسباتی و خصوصیات امنیتی WSN-SLAP را در مقایسه با طرح‌های مربوطه تحلیل می‌کنیم.

۲.۱ مدل دشمن:

- WSN-SLAP از یک مدل معروف دشمن استفاده می‌کند به نام مدل [12] Dolev-Yao (DY). از طریق مدل DY، دشمن می‌تواند شنود، حذف، رهگیری و درج پیام‌های رد و بدل شده از طریق یک کانال عمومی را انجام دهد. علاوه بر این، دشمن می‌تواند پارامترهای زودگذر مخصوص جلسه را که مبتنی بر مدل دشمن Canetti-Krawczyk (CK) است، در معرض دید قرار دهد [۱۳]. دشمن می‌تواند حملات امنیتی مختلفی را با مدل DY و مدل CK انجام دهد. مفروضات دقیق مدل دشمن به روش زیر تعریف شده است.
- اگر یک دشمن به عنوان یک کاربر قانونی در دروازه ثبت نام کند، دشمن می‌تواند با نهادهای دیگر احراز هویت کند.
 - یک دشمن می‌تواند کارت هوشمند گمشده / سرقت شده کاربر را بدست آورد. دشمن می‌تواند حمله تجزیه و تحلیل قدرت [۱۴] را برای دریافت پارامترهای ذخیره شده کارت هوشمند انجام دهد.

• یک دشمن می‌تواند حملات مختلفی مانند پخش مجدد، ضبط گره سنسور، تأیید کننده سرقت و حملات حدس رمز عبور خارج از خط را امتحان کند.

۳,۱ سازماندهی:

در بخش ۲، ما کارهای مرتبط را برای محیط WSN شرح می‌دهیم. سپس، ما مجدداً از طرح مقدم و همکاران در بخش ۳ بازدید کرده و نقایص امنیتی طرح مقدم و همکاران را در بخش ۴ اثبات می‌کنیم. بخش ۵ WSN-SLAP را نشان می‌دهد. در بخش ۶، ما با استفاده از منطق BAN، مدل ROR و ابزار شبیه‌سازی AVISPA، تجزیه و تحلیل امنیتی غیررسمی و رسمی WSN-SLAP را انجام می‌دهیم. در بخش ۷، ما عملکرد WSN-SLAP را در مقایسه با پروتکل‌های مربوطه تجزیه و تحلیل می‌کنیم. در بخش ۸، مقاله خود را جمع‌بندی و خلاصه می‌کنیم.

۲. کارهای مرتبط:

در چند دهه گذشته، چندین طرح احراز هویت مبتنی بر رمز عبور برای تأمین امنیت و کارایی در محیط‌های WSN ارائه شده است [۱۹-۱۵]. در سال ۱۹۸۱، لمپورت [۲۰] مکانیزم احراز هویت را بر اساس رمز عبور پیشنهاد کرد. لامپورت از توابع هش یک طرفه برای رمزگذاری رمز استفاده کرده و رمز عبور هش شده را در داخل سیستم ذخیره می‌کند. در سال ۲۰۰۶، وونگ و همکاران [۲۱] طرح احراز هویت مبتنی بر رمز عبور را در محیط‌های WSN پیشنهاد کرد. متاسفانه، Tseng و همکاران [۲۲] ثابت کرد که برنامه وونگ و همکاران در برابر حملات جعل و پخش نامن است. تسنگ و همکاران یک طرح احراز هویت کاربر پویا را برای بهبود آسیب‌پذیری‌های امنیتی Wong و همکاران نشان داد. [۲۱] با این حال، این طرح‌ها [۲۰-۲۲] می‌توانند از حملات حدس زدن رمز عبور در حالت آفلاین یا آفلاین رنج ببرند زیرا آنها فقط از رمز عبور به عنوان عاملی برای ورود به سیستم و تأیید اعتبار با نهادهای دیگر استفاده می‌کنند.

در چند دهه گذشته، طرح‌های احراز هویت مبتنی بر دو عامل [۲۳-۲۵] با استفاده از توابع هش و عملیات XOR برای بهبود ضعف‌های امنیتی تک عامل ارائه شده است. در سال ۲۰۰۹، داس و همکاران [۲۳] طرح احراز هویت دو عاملی مبتنی بر کارت هوشمند در شبکه‌های WSN را پیشنهاد کرد. آنها نشان دادند که طرح آنها می‌تواند از حملات مختلف مانند پخش مجدد، تأیید کننده سرقت شده و حملات حدس رمز عبور خارج از خط جلوگیری کند. با این حال، خان و همکاران [۲۴] تحلیل کرد که داس و همکارانش. [۲۳] طرح در معرض حمله خودی ممتاز است. او و دیگران [۲۵] دریافت که داس و همکاران [۲۳] طرح در برابر حملات خودی و جعل هویت آسیب‌پذیر است. برای بهبود آسیب‌پذیری‌های امنیتی طرح Das و همکاران، او و همکاران [۲۵]

طرح تأیید اعتبار کاربر دو عاملی را برای شبکه‌های WSN پیشنهاد داده است. با این حال، این طرح‌ها [۲۳-۲۵] می‌توانند از حملات مختلف مانند استفاده از کارت‌های هوشمند و دستگاه‌های تلفن همراه دزدیده شده رنج ببرند.

برای رفع اشکالات امنیتی مرتبط با طرح‌های احراز هویت مبتنی بر دو عامل و بهبود سطح امنیت در محیط‌های WSN، محققان بسیاری از طرح‌های احراز هویت مبتنی بر ECC را ارائه داده‌اند [۲۶-۳۱]. در سال ۲۰۱۱، Yeh و همکاران [۲۶] یک پروتکل احراز هویت برای محیط‌های WSN با استفاده از ECC ارائه داد. طرح Yeh و همکاران از کارت هوشمند و ECC برای جلوگیری از مشکلات امنیتی مختلف مانند حمله داخلی و حملات نقاب استفاده کرده است. چوی و همکاران [۲۷] طرح تأیید اعتبار کاربر مبتنی بر ECC را برای WSN پیشنهاد کرد. با این حال، وو و همکاران [۲۸] اشاره کرد که پروتکل چوی و همکاران در برابر حمله جعل امنیت ایجاد نمی‌کند. نام و همکاران [۲۹] یک پروتکل احراز هویت ایمن را برای WSN براساس ECC پیشنهاد کرد. طرح Nam و همکاران یک پروتکل ایمن را بر اساس مشکل محاسبه منحنی بیضوی Diffie-Hellman (ECCDH)) ارائه می‌دهد. در سال ۲۰۱۶، جیانگ و همکاران [۳۰] طرح احراز هویت مبتنی بر ECC را پیشنهاد کرد. طرح جیانگ و همکاران ارتباطات ایمن و غیرقابل ردیابی را در محیط WSN فراهم می‌کند. در سال ۲۰۱۷، وو و همکاران [۳۱] طرح احراز هویت کاربر را با استفاده از ECC پیشنهاد داده است. طرح Wu و همکاران می‌تواند حریم خصوصی کاربران را در محیط WSN حفظ کند. با این حال، گره‌های حسگر در WSN قدرت و منابع محاسباتی کمی دارند. بنابراین، تهیه کارایی در محیط WSN با استفاده از این طرح‌ها دشوار است [۲۶-۳۱] زیرا ECC به منابع محاسباتی زیادی احتیاج دارد.

در سال ۲۰۲۰، مقدم و همکاران [۶] طرح احراز هویت و توافق نامه کلیدی را با استفاده از ECDH پیشنهاد کرد. آنها ادعا کردند که طرح آنها مقاومت در برابر حملات مختلف مانند پخش مجدد، MITM، حدس رمز عبور خارج از خط و حملات تأیید کننده سرقت را فراهم می‌کند. با این حال، متوجه می‌شویم که طرح مقدم و همکاران در برابر حملات ناشی از اعداد تصادفی خاصجسه، و محرمانگی کامل پیشرو آسیب پذیر است. علاوه بر این، طرح مقدم و دیگران هزینه محاسباتی سنگینی دارد زیرا شامل یک محاسبه مبتنی بر ECC می‌شود. بنابراین، ما WSN-SLAP را پیشنهاد می‌کنیم، که در برابر مشکلات امنیتی مختلف مقاوم می‌باشد.

۳. بررسی طرح مقدم و همکاران:

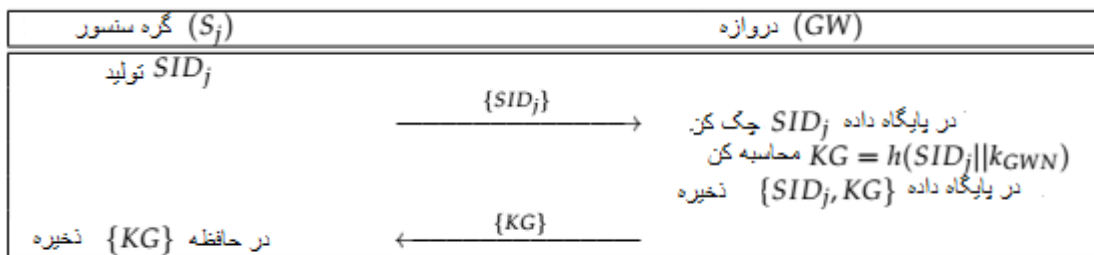
مقدم و همکاران طرح احراز هویت مبتنی بر ECDH را در WSN پیشنهاد کرد [۶]. طرح Moghadam و دیگران از مراحل ثبت گره حسگر، ثبت نام کاربر و مراحل ورود و احراز هویت تشکیل شده است. جدول ۱ علائم طرح مقدم و همکاران و WSN-SLAP را نشان می‌دهد.

جدول 1. علائم نویسی

Notation	Description
U_i	دروازه
GW	گره سنسور
S_j	هویت واقعی کاربر
ID_i	رمز کاربر
PW_i	هویت شبه کاربر
PID_i	هویت واقعی گره حسگر
SID_j	کلید اصلی دروازه
k_{GWN}	کلید مخفی مشترک بین دروازه و گره
KG	حسگر
X	کلید عمومی دروازه
G	گروه منحنی بیضوی
P	G ژنراتور
$R_k, N_k, z_i, a_i, f_i, g_i, q_i$	اعداد تصادفی
T_k	مهر زمان
SK	کلید جلسه
E_k/D_k	رمزگذاری / رمزگشایی متقارن
$h(\cdot)$	عملکرد هش
\parallel	تایع اتصال
\oplus	منحصر به فرد یا تابم

۱,۳ مرحله ثبت گره سنسور:

در این مرحله، یک گره حسگر S_j هویت خود را به GW دروازه می‌فرستد. سپس، GW یک پارامتر مخفی مشترک بین GW و S_j را محاسبه می‌کند. در شکل ۲، مرحله ثبت گره سنسور را نشان می‌دهیم و جزئیات به شرح زیر است.



شکل 2. مرحله ثبت گره سنسور طرح مقدم و همکاران

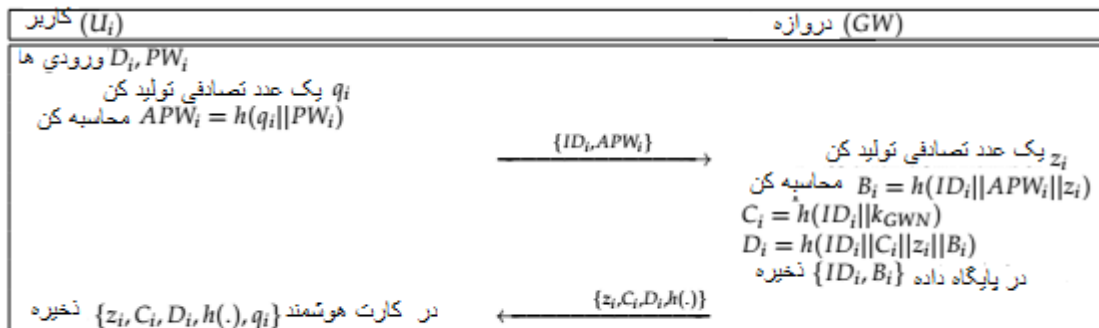
مرحله ۱: S_j هویت خود را SID_j تولید کرده و از طریق یک کانال امن به GW می‌فرستد.

مرحله ۲: GW SID_j را دریافت می‌کند و اعتبار SID_j را بررسی می‌کند. پس از آن، GW $k_{GWN} = h(SID_j || k_{GWN})$ را محاسبه می‌کند و $\{KG, SID_j\}$ را در پایگاه داده خود ذخیره می‌کند، جایی که k_{GWN} کلید اصلی GW است. سرانجام، GW $\{KG\}$ را برای S_j ارسال می‌کند.

مرحله ۳: S_j ، $\{KG\}$ را در پایگاه داده خود دریافت و ذخیره می‌کند.

۲،۳ مرحله ثبت نام کاربر:

یک کاربر U_i با ارسال یک شناسه و یک مقدار رمز عبور مخفی، به GW دروازه ثبت نام می‌شود. سپس، GW کارت هوشمندی را برای U_i صادر می‌کند. در شکل ۳، مرحله ثبت نام کاربر را شرح می‌دهیم و جزئیات به صورت زیر نشان داده شده است.



شکل 3. مرحله ثبت نام کاربر از طرح مقدم و همکاران

مرحله ۱: U_i شناسه ID و رمز عبور PW_i را وارد می‌کند و سپس یک عدد تصادفی ایجاد می‌کند. پس از آن، U_i $APW_i = h(q_i || PW_i)$ را محاسبه می‌کند و پیام درخواست ثبت نام $\{APW_i, ID_i\}$ را به GW دروازه از طریق یک کانال امن می‌فرستد.

مرحله ۲: GW ID_i را از U_i دریافت می‌کند و سپس یک عدد تصادفی ایجاد می‌کند. پس از آن، GW $B_i = h(ID_i || APW_i || z_i)$ و $C_i = h(ID_i || k_{GWN})$ را محاسبه می‌کند. سرانجام، GW $D_i = h(ID_i || C_i || z_i || B_i)$ را محاسبه می‌کند. سرانجام، GW $\{z_i, C_i, D_i, h(\cdot)\}$ را در یک کارت هوشمند ذخیره می‌کند و آن را از طریق یک کانال امن به U_i صادر می‌کند.

مرحله ۳: کارت هوشمند را دریافت می‌کند و qi را در کارت هوشمند ذخیره می‌کند. در آخر، پارامترهای $\{Di, Ci, zi\}$ را در کارت هوشمند ذخیره می‌شوند.

۳,۳ مرحله ورود و اعتبارسنجی:

پس از مرحله ثبت نام، کاربر Ui دروازه GW را تأیید می‌کند. در شکل ۴، مرحله ورود و تأیید اعتبار را شرح می‌دهیم و مراحل دقیق مرحله به شرح زیر نشان داده شده است.

مرحله ۱: پس از قرار دادن کارت هوشمند، Ui شناسه شناسه i و رمز ورود $PW * i$ را وارد می‌کند. کارت هوشمند APW $qi = h(PW * i || zi)$ ، $Di = h(ID * i || Ci)$ ، $B * i = h(ID * i || APW * i || zi)$ را محاسبه می‌کند. $zi ||$ $B * i$ و تأیید $Di = ? D \text{ verif } i$ اگر روند تأیید موفقیت آمیز باشد، کارت هوشمند یک $T1$ غیرمستقیم و تایم تایم تصادفی ایجاد می‌کند. با کلید عمومی دروازه X ، کارت هوشمند $A1 = ai \cdot P$ ، $A2 = ai \cdot X$ ، $A3 = IDi \oplus A2(x)$ ، $D = IDi \oplus A2(x)$ و $A4 = EA2(Bi || SIDj || A3)$ ، سرانجام، کارت هوشمند از طریق یک کانال عمومی $\{A1, A3, T1\}$ را به GW ارسال می‌کند.

مرحله ۲: $\{A1, A3, GW, T1\}$ را از Ui دریافت می‌کند و یک مهر زمان $T2$ را انتخاب می‌کند و اعتبار $T1$ را بررسی می‌کند. اگر مهر زمان مشخص باشد، $A2 = kGWN \cdot A1$ ، $A3 = DA2(A4) = (B * i || SID * i || A * 3)$ ، $A3 = SIDj \oplus A2(x)$ را محاسبه می‌کند و $A * 3$ را تأیید می‌کند؟ اگر $A3 = ?$ اگر برابری برقرار باشد، GW یک gi غیر تصادفی تولید می‌کند و $(SIDj || kGWN)$ ، $KG = h(SIDj || kGWN)$ ، $D1 = KG - A2$ ، $D2 = h(A2 || SIDj || A3)$ را محاسبه می‌کند. سرانجام، $\{P, gi, GW, D1, D2, T2\}$ را به گره سنسور Sj از طریق یک کانال عمومی ارسال می‌کند.

مرحله ۳: پس از دریافت پیام $\{P, gi, D1, D2, T2\}$ از Sj ، GW یک مهر زمان $T3$ را انتخاب می‌کند و اعتبار $T2$ را بررسی می‌کند. سپس، $D1 \oplus KG = Sj$ ، $A2 = KG \oplus D1$ ، $A3 = SIDj \oplus A2(x)$ ، $D2 = h(A2 || SIDj || A3)$ را محاسبه می‌کند و $D * 2 = ? D$ را تأیید می‌کند. اگر تأیید صحت داشته باشد، Sj یک fi تصادفی ایجاد می‌کند و $sk = h(A2 || fi \cdot P)$ ، $Xi = h(sk || KG, gi \cdot P)$ را محاسبه می‌کند. سرانجام، $\{P, fi, Sj, Xi, T3\}$ را به GW ارسال می‌کند.

مرحله ۴: پس از دریافت $\{P, fi, Xi, T3\}$ از Sj ، مهر تایم $T4$ را انتخاب می‌کند و اعتبار $T3$ را بررسی می‌کند. سپس، $sk = h(A2 || fi \cdot gi \cdot P)$ ، $Xi = h(sk || KG, GW)$ را محاسبه می‌کند و $Xi = ? X * i$ را تأیید می‌کند. اگر برابر باشد، $yi = h(sk || A3, GW)$ ، $D4 = EA2(gi)$ را محاسبه می‌کند و $\{yi, D4, T4\}$ را به Ui می‌فرستد.

مرحله ۵: U_i پیام $\{T_4, D_4, y_i\}$ را دریافت می‌کند و یک مهر زمان T_5 را انتخاب می‌کند و اعتبار T_4 را بررسی می‌کند. سرانجام، $(g_i) = DA_2(D_4) = U_i$ ، $(sk = h(A_2 || f_i \cdot g_i \cdot P))$ ، $(y_i = h(sk || A_3))$ را محاسبه می‌کند و $y_i = ?y * i$ را تأیید می‌کند. اگر برابر باشد، پذیرش کلید موفقیت آمیز است.

کاربر (U_i)	دروازه (GW)	گره سنسور (S_i)
Inserts the smart card Inputs ID_i^*, PW_i^* Computes $APW_i^* = h(PW_i^* q_i)$ $B_i^* = h(ID_i^* APW_i^* z_i)$ $D_i^* = h(ID_i^* C_i z_i B_i^*)$ Checks $D_i^* \stackrel{?}{=} D_i$ Generates a random nonce a_i Computes $A_1 = a_i \cdot P, A_2 = a_i \cdot X$ $DID_i = ID_i \oplus A_{2(x)}$ $A_3 = SID_i \oplus A_{2(x)}$ $A_4 = E_{A_2}(B_i SID_i A_3)$ $\{A_1, A_3, A_4, T_1\}$	Selects a timestamp T_2 Checks $ T_2 - T_1 \leq \Delta T$ Computes $A_2 = k_{GWN} \cdot A_1$ $D_{A_2}(A_4) = (B_i^* SID_i^* A_3^*)$ $A_3 = SID_i^* \oplus A_{2(x)}$ Checks $A_3 \stackrel{?}{=} A_3$ Generates a random nonce g_i Computes $KG = h(SID_i k_{GWN})$ $D_1 = KG \oplus A_2$ $D_2 = h(A_2 SID_i A_3)$ $\{g_i \cdot P, D_1, D_2, T_2\}$	Selects a timestamp T_3 Checks $ T_3 - T_2 \leq \Delta T$ Computes $A_2 = KG \oplus D_1$ $A_3 = SID_i \oplus A_{2(x)}$ $D_2^* = h(A_2 SID_i A_3)$ Checks $D_2^* \stackrel{?}{=} D_2$ Generates a random nonce f_i Computes $sk = h(A_2 f_i \cdot g_i \cdot P)$ $X_i = h(sk KG)$ $\{f_i \cdot P, X_i, T_3\}$
Selects a timestamp T_5 Checks $ T_5 - T_4 \leq \Delta T$ Computes $D_{A_2}(D_4) = (g_i)$ $sk = h(A_2 f_i \cdot g_i \cdot P)$ $y_i^* = h(sk A_3)$ Checks $y_i^* \stackrel{?}{=} y_i$	Selects a timestamp T_4 Checks $ T_4 - T_3 \leq \Delta T$ Computes $sk = h(A_2 f_i \cdot g_i \cdot P)$ $X_i = h(sk KG)$ Checks $X_i^* \stackrel{?}{=} X_i$ Computes $D_4 = E_{A_2}(g_i)$ $y_i = h(sk A_3)$ $\{y_i, D_4, T_4\}$	

شکل 4. مرحله ورود و تأیید اعتبار طرح مقدم و همکاران

۴. تحلیل رمز طرح مقدم و همکاران:

در این بخش، آسیب پذیری های امنیتی طرح مقدم و همکاران [۶] مانند حملات داخلی و حملات نشن اعداد تصادفی خاص - جلسه را نشان می دهیم. طرح مقدم و همکاران به یک محرمانگی کامل پیشرو دست نمی یابد.

۱,۴ حمله داخلی:

اگر یک دشمن A معمولی به عنوان یک کاربر قانونی U_i ثبت نام کند، A می‌تواند با درگاه GW و گره سنسور S_j با مبادله پیام‌ها احراز هویت کند. با استفاده از این اطلاعات، A می‌تواند کلید جلسه U_i کاربر قانونی دیگری را محاسبه کند. جزئیات به صورت زیر نشان داده شده است.

مرحله ۱: A کارت هوشمند را وارد می‌کند و شناسه ID و رمز عبور PW_i را وارد می‌کند. سپس کارت هوشمند اعتبار A را بررسی می‌کند و یک پیام درخواست ورود به سیستم $\{T1, A4, A3, A1\}$ را به GW ارسال می‌کند. پس از احراز هویت A ، $\{T2, D2, D1, GW\}$ را به S_j ارسال می‌کند. با دریافت پیام $\{gi \cdot P, D2, D1, D2, T2, S_j\}$ یک کلید جلسه sk را محاسبه می‌کند. سپس، S_j پیام پاسخ تأیید اعتبار $\{T3, Xi, fi \cdot P\}$ را به GW ارسال می‌کند. GW کلید جلسه را محاسبه می‌کند و $\{T4, D4, yi\}$ را برای A ارسال می‌کند. A کلید جلسه را محاسبه می‌کند و پیام‌های ارتباطی را در مرحله ورود و تأیید اعتبار به دست می‌آورد.

مرحله ۲: پس از به دست آوردن پیام $\{D2, D1, gi \cdot P, T2\}$ ، A را محاسبه می‌کند، جایی که $A2$ کلید مخفی A با استفاده از ECC است و KG یک کلید مخفی مشترک بین GW و S_j است.

مرحله ۳: یک پیام $\{T^1_2, D^1_2, D^1_1, g^1_i \cdot P\}$ را از پیام کاربر قانونی دیگری U_i رهگیری می‌کند. از آنجا که A KG را می‌شناسد، می‌تواند $A^1_2 = D^1_1 \oplus KG$ را محاسبه کند، جایی که A^1_2 کلید مخفی U_i است.

مرحله ۴: A با استفاده از کلید مخفی A^1_2 از U_i پیام $\{T^1_4, D^1_4, y^1_i\}$ را رمزگشایی کرده و D^1_4 را رمزگشایی می‌کند. سپس، A می‌تواند به صورت تصادفی غیر مخفی g^1_i گره حسگر را بدست آورد. A می‌تواند با استفاده از پیام $\{T13, fli, Xli, fli \cdot P\}$ $g^1_i \cdot P$ را محاسبه کند. سرانجام، A کلید نشست $sk^1 = h$ را محاسبه کنید $(A^1_2 \parallel f^1_i \cdot g^1_i \cdot P)$.

بنابراین، طرح مقدم و همکاران نمی‌تواند از حملات خودی جلوگیری کند.

۲,۴ محرمانگی کامل روبه جلو:

مقدم و همکاران نشان داد که طرح آنها می‌تواند از ویژگی امنیتی محرمانگی کامل روبه جلو اطمینان حاصل کند. با این وجود، اگر دشمن A کلید اصلی $kGWN$ دروازه GW را بدست آورد، دشمن می‌تواند کلید قانونی جلسه U_i کاربر sk را محاسبه کند. جزئیات در مراحل زیر نشان داده شده است.

مرحله ۱: اگر A کلید اصلی $kGWN$ را بدست آورد، A می‌تواند با استفاده از پیام درخواست ورود $\{T1, A4, A3, A1\}$ کلید محرمانه $A2 = kGWN \cdot A1 U_i$ را محاسبه کند.

مرحله ۲: وقتی A پیام $\{T4, D4, y_i\}$ را قطع می‌کند، A می‌تواند $(EA2(gi))$ را رمزگشایی کند زیرا $A2$ کلید متقارن بین UI و GW دروازه است.

مرحله ۳: بعد از اینکه A پیام $\{T3, X_i, f_i \cdot P\}$ را بدست آورد، A می‌تواند $(gi, A2)$ و $(f_i \cdot P)$ را بدست آورد. سرانجام A ، کلید جلسه U_i را برای $sk = h$ محاسبه می‌کند $(A2 \parallel f_i \cdot g \cdot P)$. در نتیجه، طرح مقدم و همکاران از پنهان کاری کامل رو به جلو اطمینان حاصل نمی‌کند.

۳,۴ حمله نشت شماره تصادفی مختص جلسه:

فرض کنید که یک $nonce$ تصادفی برای یک دشمن مشخص شود. با استفاده از کلید عمومی X از GW دروازه، A می‌تواند $A2 = ai \cdot X$ را محاسبه کند. سپس، A می‌تواند کلید جلسه sk را محاسبه کند. جزئیات به شرح زیر است.

مرحله ۱: A پس از دریافت پارامتر $A2$ ، پیام $\{T4, D4, y_i\}$ را ضبط می‌کند. سپس، A decrypts $D4 = EA2$

(gi) با استفاده از کلید متقارن $A2$ و gi بدست می‌آید.

مرحله ۲: پیام پیام گره حسگر $\{T3, X_i, S_j, f_i \cdot P\}$ را استراق سمع می‌کند. سرانجام، A با استفاده از $f_i \cdot P$ در پیام S_j ، کلید جلسه $(sk = h(A2 \parallel f_i \cdot gi \cdot P))$ را محاسبه می‌کند.

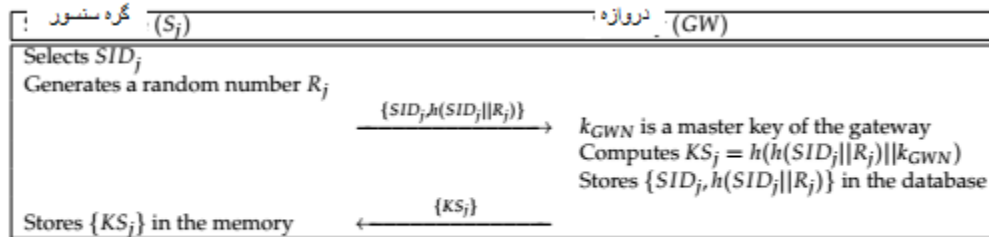
بنابراین، طرح مقدم و همکاران نمی‌توانند از تعداد تصادفی حملات نشت جلسه-بخصوص جلوگیری کنند.

۵. طرح پیشنهادی:

ما یک پروتکل احراز هویت متقابل ایمن و سبک را برای محیط WSN پیشنهاد می‌دهیم تا نقاط ضعف امنیتی طرح مقدم و دیگران را برطرف کنیم [۶]. برای در نظر گرفتن گره‌های حسگر محدود به منابع، $WSN-SLAP$ از توابع هش و عملیات XOR استفاده می‌کند که هزینه‌های محاسباتی کمتری را ایجاد می‌کند. $WSN-SLAP$ از مراحل ثبت گره سنسور، ثبت نام کاربر، ورود به سیستم و احراز هویت، به روزرسانی رمز عبور و مراحل اضافه شدن گره حسگر تشکیل شده است.

۱,۵ مرحله ثبت گره سنسور:

اگر گره حسگر S_j پیام درخواست ثبت نام را ارسال می‌کند، GW دروازه یک پارامتر مخفی برای گره سنسور محاسبه می‌کند. سپس، S_j پارامتر را ذخیره می‌کند. ما مرحله ثبت گره سنسور را در شکل ۵ نشان می‌دهیم و جزئیات به صورت زیر ارائه شده است.



شکل ۵. مرحله ثبت گره سنسور یک پروتکل احراز هویت متقابل امن و سبک (WSN-SLAP)

مرحله ۱: S_j هویت خود را SID_j انتخاب می‌کند و یک عدد تصادفی R_j تولید می‌کند. سپس، $\{S_j, h(SID_j || R_j)\}$ را محاسبه کرده و $\{h(SID_j || R_j, SID_j)\}$ را از طریق یک کانال امن به GW می‌فرستد.

مرحله ۲: $\{h(SID_j || R_j, GW \{SID_j)\}$ را دریافت می‌کند و $KS_j = h(h(SID_j || R_j) || k_{GWN})$ را محاسبه می‌کند، جایی که k_{GWN} کلید اصلی GW است. $\{h(SID_j || R_j, GW \{SID_j)\}$ را در پایگاه داده امن ذخیره می‌کند و $\{KS_j\}$ را برای S_j ارسال می‌کند.

مرحله ۳: سرانجام، $\{S_j, \{KS_j\}\}$ را در حافظه خود ذخیره می‌کند.

۲,۵ مرحله ثبت نام کاربر:

کاربر U_i یک پیام درخواست ثبت نام را به GW دروازه ارسال می‌کند. سپس، GW پارامترهای مخفی را محاسبه کرده و کارت هوشمندی را برای کاربر صادر می‌کند. در شکل ۶، مرحله ثبت نام کاربر را شرح می‌دهیم و مراحل دقیق به صورت زیر نشان داده شده است.



شکل 6. مرحله ثبت نام کاربر. WSN-SLAP.

مرحله ۱: U_i یک شناسه هویت و یک رمز عبور آنتروپی بالا PW_i را وارد می‌کند. پس از آن، U_i از طریق یک کانال امن $\{ID_i\}$ را به GW منتقل می‌کند.

مرحله ۲: GW اعداد تصادفی x و R_g تولید می‌کند و $(PID_i = H ID_i \oplus h(x || k_{GWN}), HID_i = h(ID_i || R_g))$ را محاسبه می‌کند. $\{PID_i, GW, x\}$ را در پایگاه داده امن خود ذخیره می‌کند و پیام $\{h(\cdot), HID_i, PID_i\}$ را به U_i می‌فرستد.

مرحله ۳: U_i یک عدد تصادفی R_i تولید می‌کند. با R_i ، U_i $APW_i = h(PW_i || R_i)$ ، $SR_i = R_i \oplus (ID_i || PW_i)$ ، $V_i = h(APW_i || ID_i || R_i)$ و $SH ID_i = H ID_i \oplus h(PW_i || ID_i || R_i)$ را محاسبه می‌کند.

سرانجام، $\{SR_i, U_i, SH ID_i, V_i, PID_i, h(\cdot)\}$ را در کارت هوشمند ذخیره می‌کند.

۳،۵ مرحله ورود و اعتبارسنجی:

برای دسترسی به اطلاعات سنسور S_j ، کاربر U_i یک پیام درخواست ورود به درگاه GW ارسال می‌کند. در شکل ۷، مرحله ورود و احراز هویت را شرح می‌دهیم و جزئیات در زیر ارائه شده است.

کاربر (U _i)	درگاه (GW)	گره حسگر (S _j)
Inserts the smart card Inputs ID_i, PW_i Computes $R_i^* = SR_i \oplus h(ID_i PW_i)$ $APW_i^* = h(PW_i R_i)$ $V_i^* = h(APW_i ID_i R_i^*)$ Checks $V_i^* \stackrel{?}{=} V_i$ Generates a random nonce N_1 Computes $HID_i = SHID_i \oplus h(PW_i ID_i R_i)$ $S_i = SID_j \oplus h(PID_i HID_i)$ $M_1 = N_1 \oplus h(HID_i PID_i)$ $V_1 = h(SID_j PID_i N_1 HID_i)$ $\{PID_i, S_i, M_1, V_1\}$	Retrieves PID_i and the secret value x Computes $HID_i^* = PID_i \oplus h(x k_{GWN})$ $SID_i^* = S_i \oplus h(PID_i HID_i^*)$ $N_1^* = M_1 \oplus h(HID_i^* PID_i)$ $V_1^* = h(SID_i^* PID_i N_1^* HID_i^*)$ Checks $V_1^* \stackrel{?}{=} V_1$ Generates a random nonce N_2 Retrieves SID_j and $h(SID_j R_j)$ Computes $KS_j = h(h(SID_j R_j) k_{GWN})$ $M_2 = h(N_2 HID_i) \oplus h(KS_j PID_i)$ $M_3 = N_2 \oplus h(h(N_2 HID_i) KS_j)$ $V_2 = h(PID_i SID_j h(N_2 HID_i) N_1)$ $\{PID_i, M_2, M_3, V_2\}$	Computes $h(N_2 HID_i)^* = M_2 \oplus h(KS_j PID_i)$ $N_1^* = M_3 \oplus h(h(N_2 HID_i)^* PID_i)$ $V_2^* = h(PID_i SID_j h(N_2 HID_i) N_1^*)$ Checks $V_2^* \stackrel{?}{=} V_2$ Generates a random nonce N_3 Computes $SK = h(h(N_2 HID_i) N_3 N_1)$ $M_4 = N_3 \oplus h(KS_j N_2)$ $V_3 = h(SK N_3 SID_j)$ $\{M_4, V_3\}$
Computes $PID_i^{new} = P_i \oplus h(N_1 HID_i)$ $N_2^* = M_3 \oplus h(HID_i SID_j N_1)$ $N_3^* = M_4 \oplus h(N_2^* HID_i PID_i^{new})$ $SK^* = h(h(N_2^* HID_i) N_3^* N_1)$ $V_4^* = h(N_2^* N_3^* PID_i^{new} SK^*)$ Checks $V_4^* \stackrel{?}{=} V_4$ Replaces $\{PID_i\}$ to $\{PID_i^{new}\}$ in the smart card.	Computes $N_2^* = M_4 \oplus h(KS_j N_2)$ $SK^* = h(h(N_2 HID_i) N_2^* N_1)$ $V_2^* = h(SK^* N_2^* SID_j)$ Checks $V_2^* \stackrel{?}{=} V_2$ Computes $x^{new} = h(x N_2)$ $PID_i^{new} = HID_i \oplus h(x^{new} k_{GWN})$ $P_i = PID_i^{new} \oplus h(N_1 HID_i)$ $M_4 = N_2 \oplus h(HID_i SID_j N_1)$ $M_5 = N_3 \oplus h(N_2 HID_i PID_i^{new})$ $V_4 = h(N_2 N_3 PID_i^{new} SK)$ If the key agreement is successful, updates $\{PID_i, x\}$ to $\{PID_i^{new}, x^{new}\}$. $\{P_i, M_5, M_4, V_4\}$	

شکل 7. مرحله ورود و احراز هویت WSN-SLAP.

مرحله ۱: پس از قرار دادن کارت هوشمند، شناسه ID و رمز عبور PW_i را وارد می‌کند. کارت هوشمند $R * 1 = SR_i \oplus h$ (ID_i || PW_i)، $APW * i = h(PW_i || R_i)$ و $V * i = h(APW * i || ID_i || R * 1)$ را محاسبه می‌کند. سپس، کارت هوشمند اعتبار $V * i$ را در مقایسه با V_i ذخیره شده در کارت هوشمند بررسی می‌کند. در صورت تأیید اعتبار، کارت هوشمند غیر تصادفی N_1 تولید می‌کند و $HID_i = SHID_i \oplus h(PW_i || ID_i || R_i)$ ، $S_i = SID_j \oplus h(PID_i || HID_i)$ ، $M_1 = N_1 \oplus h(HID_i || PID_i)$ و $V_1 = h(SID_j || PID_i || N_1 || HID_i)$ را محاسبه می‌کند. سرانجام، U_i از طریق یک کانال عمومی $\{V_1, M_1, S_i, PID_i\}$ را به GW ارسال می‌کند.

مرحله ۲: وقتی $\{V1, M1, Si, GW\}$ PIDi را از Ui دریافت می‌کند، مقدار مخفی مشترک x را از پایگاه داده GW بازیابی می‌کند. سپس، $SID * j = Si \oplus h(PIDi || H ID, GW H ID * i = PIDi \oplus h(x || kGWN))$ ، و $V * 1 = h(SID * j || PIDi || N * 1 || H ID)$ را محاسبه می‌کند. $(i, * i)$ و $N * 1 = M1 \oplus h(H ID * i, * i)$ را در مقایسه با $V1$ بررسی می‌کند. در صورت تأیید اعتبار، $GW SIDj$ و $h(SIDj || Rj)$ را از پایگاه داده GW بازیابی می‌کند. $GW KSj = h(h(SIDj || Rj) || kGWN)$ ، $M2 = h(N2 || H IDi) \oplus h(KSj || PIDi)$ ، $M3 = N1 \oplus h(N2 || H IDi)$ ساعت $V2 = h(PIDi || SIDj)$ و $(KSj || N2 || H IDi)$ را محاسبه می‌کند. $\{V2, M3, M2, PIDi\}$ را به Sj ارسال می‌کند.

مرحله ۳: اگر $\{PIDi, Sj, M2, M3, V2\}$ را دریافت کرد، Sj محاسبه $M2 \oplus h(N2 || H IDi)$ ساعت $(KSj || N2 || H IDi) || N$ را محاسبه می‌کند. $N * 1 = M3 \oplus h(h(N2 || H IDi) * || PIDi, PIDi)$ و $V * 2 = h(PIDi || SIDj, N * 1 = M3 \oplus h(h(N2 || H IDi) * || PIDi, PIDi))$ را در مقایسه با پارامتر $V2$ بررسی می‌کند. اگر اعتبار تأیید شود، Sj محاسبه $SK = h(h(N2 || H IDi) || N3 || N1)$ و $V3 = h(SK || N3 || SIDj, M4 = N3 \oplus h(KSj || N2), IDi)$ را محاسبه می‌کند. $\{V3, Sj, M4\}$ را به GW ارسال می‌کند.

مرحله ۴: GW پس از دریافت پیام $\{V3, M4\}$ از Sj ، $N * 3 = M4 \oplus h(KSj || N2)$ و $SK * = h(h(N2 || H IDi) || N3 || N1)$ را محاسبه می‌کند. اگر تأیید موفقیت آمیز باشد، GW یک $N2$ غیر تصادفی تولید می‌کند و $xnew = h(x || N2)$ و $PIDnewi = H IDi \oplus h(xnew || N2)$ را محاسبه می‌کند. $(Pi = PIDnewi \oplus h(N1 || H IDi, kGWN))$ و $M6 = M5 \oplus h(N2 || H IDi || SIDj || N1)$ را محاسبه می‌کند. $(V4 = h(N2 || N3 || PIDnewi || SK, N2 || H IDi || PIDnewi))$ ساعت $\{V4, M6\}$ را به Ui ارسال می‌کند و در صورت موفقیت در توافق نامه، $\{x, PIDi\}$ را به $\{xnew, PIDnewi\}$ به روز می‌کند.

مرحله ۵: وقتی Ui از GW پیام $\{V4, M6, M5, Pi\}$ را دریافت می‌کند، Ui محاسبه می‌کند $PIDnewi = Pi \oplus h(N1 || H IDi)$ و $N * 3 = M6 \oplus h(N2 || H IDi || SIDj || N1)$ ، $N * 2 = M5 \oplus h(H IDi || SIDj || N1)$ و $SK * = SK$ ساعت $(N * 2 || H IDi) || N * 3 || N1)$ را محاسبه می‌کند. در صورت تأیید اعتبار، Ui جای کارت $\{PIDi\}$ را به $\{PIDnewi\}$ کارت $\{PIDnewi\}$ هوشمند می‌دهد.

۴,۵ مرحله به روزرسانی رمز عبور:

در WSN-SLAP، کاربران می‌توانند به راحتی رمز ورود خود را تغییر دهند. جزئیات به صورت زیر نشان داده شده است.

مرحله ۱: پس از قرار دادن کارت هوشمند، کاربر U_i شناسه ID_i و رمز عبور PW_i را وارد می‌کند. کارت هوشمند $R * i =$
 $SR_i \oplus h(ID_i || PW_i)$ ، $APW * i = h(PW_i || R_i)$ ، $APW_i || ID_i || R * i$ و $V * i = h(APW_i || ID_i || R * i)$ را محاسبه می‌کند و
برابری را تأیید می‌کند از $V * i$ و V_i . اگر تأیید موفقیت‌آمیز باشد، کارت هوشمند رمز عبور جدیدی را به U_i درخواست می
کند.

مرحله ۲: رمز عبور جدید PW_{newi} را وارد می‌کند. کارت هوشمند یک عدد تصادفی R_{newi} انتخاب می‌کند و APW_{newi}
 $SH ID_{newi} = H ID_i \oplus h(PW_{newi})$ ، $SR_{newi} = R_{newi} \oplus (ID_i || PW_{newi}) = h(PW_{newi} || R_{newi})$
 $(ID_i || R_{newi}) = V_{newi}$ را محاسبه می‌کند $h(APW_{newi} || ID_i || R_{newi})$. سرانجام، کارت های هوشمند
 $\{SR_{newi}, SH ID_{newi}, V_{newi}, PID_i, h(\cdot)\}$ را ذخیره می‌کند.

۵,۵ مرحله افزودن گره سنسور:

برای افزودن گره حسگر جدید S_{newj} به WSN-SLAP، S_{newj} در GW دروازه ثبت می‌شود. مراحل دقیق به شرح زیر
شرح داده شده است.

مرحله ۱: S_{newj} هویت خود را SID_{newj} انتخاب می‌کند. سپس، S_{newj} یک عدد تصادفی R_{newj} تولید می‌کند. با
 SID_{newj} و R_{newj} ، S_{newj} $h(SID_{newj} || R_{newj})$ را محاسبه می‌کند و $\{h(SID_{newj} || R_{newj}), SID_{newj}\}$
را از طریق یک کانال امن به GW می‌فرستد.

مرحله ۲: GW پس از دریافت $\{h(SID_{newj} || R_{newj}), SID_{newj}\}$ از S_{newj} ، $KS_{newj} = h(h(SID_{newj} || R_{newj}), SID_{newj})$
 $k_{GWN} || (R_{newj})$ را محاسبه می‌کند و $\{h(SID_{newj} || R_{newj}), SID_{newj}\}$ را در پایگاه داده GW سرانجام، GW
 $\{KS_{newj}\}$ را به S_{newj} ارسال می‌کند.

مرحله ۳: S_{newj} پیام $\{KS_{newj}\}$ را از GW دریافت می‌کند و $\{KS_{newj}\}$ را در حافظه S_{newj} ذخیره می‌کند.

۶. تحلیل امنیت:

WSN-SLAP نه تنها ویژگی‌های سبک را با استفاده از توابع هش و عملیات XOR در نظر می‌گیرد، بلکه سطح امنیتی بالاتری را در مقایسه با طرح‌های مربوطه تضمین می‌کند. برای ارزیابی امنیت WSN-SLAP، ما تجزیه و تحلیل امنیت غیر رسمی و تجزیه و تحلیل رسمی امنیتی مانند منطق BAN، مدل ROR و ابزار شبیه‌سازی AVISPA را انجام می‌دهیم. ما نشان می‌دهیم که WSN-SLAP با استفاده از تجزیه و تحلیل غیررسمی از انواع حملات جلوگیری می‌کند. ما احراز هویت متقابل WSN-SLAP را با استفاده از منطق BAN نشان می‌دهیم و همچنین امنیت کلیدی جلسه WSN-SLAP را با استفاده از مدل ROR اثبات می‌کنیم. ما برای اثبات ویژگی‌های امنیتی WSN-SLAP در برابر حملات پخش و MITM از ابزار شبیه‌سازی AVISPA استفاده می‌کنیم.

۱,۶ تحلیل امنیت غیر رسمی:

WSN-SLAP امنیت را در برابر حملات مختلف از جمله خودی، کارت هوشمند دزدیده شده، پخش مجدد، ضبط گره حسگر، حدس رمز عبور خارج از خط، خودی ممتاز، تأیید کننده سرقت و حملات MITM فراهم می‌کند. علاوه بر این، WSN-SLAP رازداری کامل و احراز هویت متقابل را تضمین می‌کند.

۱,۱,۶ حمله داخلی:

اگر یک دشمن A به عنوان یک کاربر قانونی در GW Geway ثبت نام کند، A می‌تواند برای GW و گره سنسور S_j احراز هویت کند. پیام‌های {V₃, {M₄, V₂}, M₃, M₂, PID_i} و {V₄, M₆, M₅, Pi} را ضبط می‌کند. سپس، A $h(h(N_2 || H ID_i) || KS_j) = M_3 \oplus N_1$ و $h(KS_j || PID_i) = M_2 \oplus h(N_2 || H ID_i)$ را محاسبه می‌کند. برای به خطر انداختن سایر جلسات کاربر قانونی، A برای محاسبه کلید جلسه باید به KS_j نیاز داشته باشد. از آنجا که توابع هش nonce تصادفی N₂ و پارامتر مخفی کاربر H ID_i مانند KS_j $h(h(N_2 || H ID_i) || KS_j)$ را می‌پوشاند، A نمی‌تواند پارامتر مخفی مشترک KS_j را بین GW و S_j محاسبه کند. بنابراین، WSN-SLAP در برابر حملات خودی ایمن است.

۲,۱,۶ حمله کارت هوشمند سرقت شده:

فرض کنید یک دشمن کارت هوشمند کاربر U_i را ضبط کند. سپس، A از حمله تجزیه و تحلیل قدرت برای استخراج پارامترهای ذخیره شده در کارت هوشمند استفاده می‌کند. با پارامترهای کارت هوشمند U_i، A سعی می‌کند با درگاه GW و گره سنسور S_j احراز هویت کند. با این حال، A نمی‌تواند پیام درخواست ورود به سیستم {V₁, M₁, S_i, PID_i} را محاسبه کند زیرا

$H ID_i$ توسط $SH ID_i = H ID_i \text{ ed } h (PW_i \parallel ID_i \parallel R_i)$ پوشانده می‌شود. برای محاسبه $A, H ID_i$ باید همزمان ID_i و PW_i را حدس بزنند. از آنجا که این وظایف از نظر محاسباتی غیرقابل انجام است، به دست آوردن ID_i و PW_i دشوار است. به همین دلایل، $WSN-SLAP$ در برابر حملات کارت‌های هوشمند دزدیده شده ایمن است.

۳,۱,۶ پخش مجدد حمله:

اگر یک دشمن A پیام‌های $\{V_2, M_3, M_2, PID_i\}$ و $\{V_1, M_1, S_i, ID_i\}$ را از یک کاربر حقوقی U_i رهگیری کند، A با ارسال پیام‌های رهگیری در جلسات دیگر سعی در تأیید اعتبار با GW دروازه دارد. در $WSN-SLAP$ ، GW و گره سنسور تازگی موارد غیر تصادفی N_1, N_2 و N_3 را بررسی می‌کنند. بنابراین، $WSN-SLAP$ می‌تواند امنیت را در برابر حملات پخش مجدد تأمین کند.

۴,۱,۶ حمله تسخیر گره سنسور:

فرض می‌کنیم که یک دشمن A گره حسگر خاص S_j را گرفته و با استفاده از حمله تحلیلی قدرت، پارامترهای $\{KS_j, SID_j\}$ را از حافظه S_j بدست می‌آورد. سپس، A می‌تواند با GW دروازه و کاربر U_i احراز هویت کند. با این حال، A نمی‌تواند گره‌های حسگر دیگر را تهدید کند. از آنجا که پارامتر مخفی مشترک $kGWN = h(h(SID_j \parallel R_j) \parallel KS_j)$ ، A فقط می‌تواند با گره حسگر خاص S_j احراز هویت شود. A نمی‌تواند هیچ اطلاعاتی درباره گره‌های حسگر دیگر محاسبه کند. بنابراین، $WSN-SLAP$ در برابر حملات جذب گره سنسور ایمن است.

۵,۱,۶ حمله حدس رمز خارج خط-خاموش:

مطابق بخش ۱,۲، یک دشمن A می‌تواند رمز ورود کاربر قانونی $U_i PW_i$ را حدس بزند. A همچنین می‌تواند پارامترهای ذخیره شده $\{S_i, SH ID_i, V_i, PID_i, h(\cdot)\}$ را از کارت هوشمند مجاز U_i استخراج کند. سپس، A سعی می‌کند خود را به عنوان U_i معرفی کند. با این حال، A نمی‌تواند $R_i = S_i (h(ID_i \parallel PW_i))$ را برای بدست آوردن $H ID_i = SH ID_i \oplus h(PW_i \parallel ID_i \parallel R_i)$ بدون دانستن شناسه ID_i محاسبه کند. بنابراین، A نمی‌تواند پیام قانونی $\{V_2, M_3, M_2, PID_i\}$ را محاسبه کند. بر این اساس، $WSN-SLAP$ در برابر حملات حدس رمز خط-خاموش مقاومت دارد.

۶،۱،۶. حمله خودی خاص:

اگر یک دشمن داخلی مخفی A پیام ثبت نام U_i کاربر قانونی $\{ID_i\}$ را رهگیری کند، A سعی می‌کند با استفاده از پیام‌های بخش ۵،۳، کلید جلسه U_i را محاسبه کند. با این حال، A نمی‌تواند کلید جلسه U_i را محاسبه کند. برای محاسبه $SK = h(h(N_2 || H ID_i) || N_3 || N_1)$ باید A باید $H ID_i$ را محاسبه کند که پارامتر مخفی مشترک بین U_i و GW دروازه است. با این حال، A نمی‌تواند $H ID_i = SH ID_i \oplus h(PW_i || ID_i || R_i)$ را از پیام درخواست ورود $\{V_1, M_1, S_i, PID_i\}$ بدون رمز ورود U_i و عدد تصادفی R_i محاسبه کند. در نتیجه، $WSN-SLAP$ امنیت در برابر حملات خودی ممتاز را تضمین می‌کند.

۷،۱،۶ حمله تایید کننده سرقت :

با فرض اینکه یک حریف A جدول درگاه ورودی GW را شامل $\{h(SID_j || R_j, SID_j)\}$ و $\{h(PID_i, x)\}$ می‌دزدد. با این حال، A نمی‌تواند کلید جلسه کاربر قانونی U_i را با این پارامترها محاسبه کند. برای محاسبه کلید جلسه $SK = h(h(N_2 || H ID_i) || N_3 || N_1)$ باید A باید با استفاده از $H ID_i = H ID_i \oplus h(x || kGWN)$ PID_i را محاسبه کند. از آنجا که پارامتر $kGWN$ کلید اصلی GW است، A نمی‌تواند $H ID_i$ را محاسبه کند. بنابراین، $WSN-SLAP$ در برابر حملات تأیید کننده سرقت مقاومت می‌کند.

۸،۱،۶ حمله MITM:

در مرحله ورود و تأیید اعتبار، یک دشمن A رهگیری می‌کند و سعی می‌کند پیام درخواست ورود به سیستم $\{M_1, S_i, PID_i\}$ را اصلاح کند. با این حال، GW دروازه با استفاده از جدول تأیید می‌تواند پیام تغییر یافته را به راحتی تشخیص دهد. علاوه بر این، اصلاح همه پیام‌ها غیرممکن است زیرا آنها شامل پارامترهای تصادفی هستند. بنابراین، $WSN-SLAP$ می‌تواند از حملات MITM جلوگیری کند.

۹،۱،۶ حمله نشت تعداد تصادفی ویژه-جلسه:

فرض کنید که یک دشمن A تمام پارامترهای تصادفی N_1, N_2 و N_3 را بدست آورد. سپس، A سعی می‌کند کلید جلسه SK را محاسبه کند. با این وجود محاسبه کلید جلسه بدون دانستن HID_i غیرممکن است. HID_i در طول جلسه با کلید مخفی x و کلید اصلی $kGWN$ پوشانده می‌شود. بر این اساس، $WSN-SLAP$ در برابر حملات نشت تعداد تصادفی ویژه-جلسه ایمن است.

۱۰،۱،۶ محرمانگی پیشرو کامل:

ما فرض می‌کنیم که یک دشمن A کلید اصلی $kGWN$ را بدست می‌آورد. سپس، A سعی می‌کند کلید جلسه $SK = h(h(N_2 || HID_i) || N_3 || N_1)$ را محاسبه کند. با این حال، از کلید اصلی $kGWN$ استفاده می‌شود، یعنی $h(h(x || kGWN) || (SID_j || R_j) || kGWN)$. بنابراین، A برای تحلیل پارامتر مخفی به پارامتر مخفی مشترک x یا $h(SID_j || R_j)$ نیاز دارد. به همین دلیل، $WSN-SLAP$ محرمانگی پیشرو کامل را فراهم می‌کند.

۱۱،۱،۶ احراز هویت متقابل:

برای احراز هویت با یکدیگر، هر یک از شرکت کنندگان $WSN-SLAP$ فرایندهای تأیید را انجام می‌دهد. GW دروازه اعتبار $V_1 = ?V_1$ و $V_3 = ?V_3$ را بررسی می‌کند، گره سنسور $V_2 = ?S_j V_2$ را تأیید می‌کند و $V_4 = ?U_i V_4$ را بررسی می‌کند. اگر کل روند تأیید موفقیت آمیز باشد، می‌توانیم نتیجه بگیریم که هر شرکت کننده با یکدیگر احراز هویت می‌شود. بنابراین، $WSN-SLAP$ احراز هویت متقابل را تضمین می‌کند.

۲،۶ منطق BAN:

در این بخش، ما احراز هویت متقابل $WSN-SLAP$ را با استفاده از تحلیل منطق BAN اثبات می‌کنیم [۸]. منطق BAN به طور گسترده‌ای برای تحلیل احراز هویت متقابل در طرح‌های مختلف احراز هویت استفاده شده است [۳۲،۳۳]. در $WSN-SLAP$ ، شرکت کنندگان با احراز هویت یکدیگر یک کلید جلسه SK را در میان U ، GW و SN ایجاد می‌کنند. جدول ۲ نشانه‌های اساسی منطق BAN را در این اثبات ارائه می‌دهد.

جدول 2. عبارات اصلی

عبارت	تعریف
P_1, P_2	دو اصل
S_1, S_2	دو جمله
SK	کلید جمله
$P_1 \equiv S_1$	S_1 معتقد است P_1
$P_1 \sim S_1$	S_1 یک بار گفت P_1
$P_1 \Rightarrow S_1$	S_1 کنترل می‌کند P_1
$P_1 \triangleleft S_1$	P_1 را دریافت می‌کند S_1
$\#S_1$	S_1 تازه است
$\{S_1\}_{Key}$	S_1 رمزگذاری شده Key
$P_1 \xleftrightarrow{Key} P_2$	است مشترک را دارند P_1 و P_2 کلید

۱، ۲، ۶، قوانین:

قوانین منطقی منطق BAN به شرح زیر است.

۱. قانون معنی پیام (MMR):

$$\frac{P_1 \mid \equiv P_1 \xleftrightarrow{Key} P_2, \quad P_1 \triangleleft (S_1)_{Key}}{P_1 \mid \equiv P_2 \mid \sim S_1}$$

۲. قانون اعتبارسنجی غیر رسمی (NVR):

$$\frac{P_1 \mid \equiv \#(S_1), \quad P_1 \mid \equiv P_2 \mid \sim S_1}{P_1 \mid \equiv P_2 \mid \equiv S_1}$$

۳. قانون صلاحیت (JR):

$$\frac{P_1 \mid \equiv P_2 \mid \Rightarrow S_1, \quad P_1 \mid \equiv P_2 \mid \equiv S_1}{P_1 \mid \equiv S_1}$$

۴. قانون اعتقاد (BR):

$$\frac{P_1 \mid \equiv (S_1, S_2)}{P_1 \mid \equiv S_1}$$

۵. قانون تازگی (FR):

$$\frac{P_1 \mid \equiv \#(S_1)}{P_1 \mid \equiv \#(S_1, S_2)}$$

۲،۲،۶. اهداف:

در WSN-SLAP، اهداف اساسی منطق BAN این است که هر مدیر اصلی یک کلید جلسه ایجاد می‌کند و به تأیید اعتبار متقابل می‌رسد. اهداف اثبات احراز هویت متقابل WSN-SLAP به شرح زیر است:

Goal 1: $U \mid \equiv U \xleftrightarrow{SK} GW$

Goal 2: $U \mid \equiv GW \mid \equiv U \xleftrightarrow{SK} GW$

Goal 3: $GW \mid \equiv U \xleftrightarrow{SK} GW$

Goal 4: $GW \mid \equiv U \mid \equiv U \xleftrightarrow{SK} GW$

Goal 5: $SN \mid \equiv SN \xleftrightarrow{SK} GW$

Goal 6: $SN \mid \equiv GW \mid \equiv SN \xleftrightarrow{SK} GW$

Goal 7: $GW \mid \equiv SN \xleftrightarrow{SK} GW$

Goal 8: $GW \mid \equiv SN \mid \equiv SN \xleftrightarrow{SK} GW$

۳،۲،۶. فرم‌های ایده آل:

در WSN-SLAP، درخواست احراز هویت و پیام‌های پاسخ $\{Si, PID_i, M1, \{V1, PID_i\}, M2, M3, \{V2, M4, \{V3, \{M5, M6, V4\}\}$ از طریق یک کانال عمومی ما این پیام‌ها را به فرم ایده آل منتقل خواهیم کرد و پیام‌های دیگر را حذف خواهیم کرد زیرا آنها نمی‌توانند به طور کارآمد خصوصیات منطقی منطق BAN را ارائه دهند. پیام‌های فرم ایده آل WSN-SLAP به صورت زیر نشان داده شده است:

$$Msg_1 : U \rightarrow GW : \{N_1, SID_j\}_{HID_i}$$

$$Msg_2 : GW \rightarrow SN : \{h(N_2 || HID_i), N_1\}_{KS_j}$$

$$Msg_3 : SN \rightarrow GW : \{N_3\}_{KS_j}$$

$$Msg_4 : GW \rightarrow U : \{N_2, N_3\}_{HID_1}$$

۴,۲,۶ فرضیات:

پس از مرحله ثبت نام، هر مدیر اصلی معتقد است که کلیدهای مخفی دارد که بین یکدیگر به اشتراک گذاشته شده است. مدیر اصلی همچنین اعتماد دارد که اعداد تصادفی و هویت شبه تازه است. علاوه بر این، مدیر اصلی معتقد است که یک مدیر قانونی می‌تواند اجزا و ارزش‌های تحت کنترل را کنترل کند. فرضیات منطق BAN در WSN-SLAP به شرح زیر است:

$$A_1: GW| \equiv \#(N_1)$$

$$A_2: GW| \equiv \#(N_3)$$

$$A_3: SN| \equiv \#(h(N_2||HID_i))$$

$$A_4: U| \equiv \#(N_2)$$

$$A_5: U| \equiv GW \Rightarrow (U \xleftrightarrow{SK} GW)$$

$$A_6: GW| \equiv U \Rightarrow (U \xleftrightarrow{SK} GW)$$

$$A_7: SN| \equiv GW \Rightarrow (SN \xleftrightarrow{SK} GW)$$

$$A_8: GW| \equiv SN \Rightarrow (SN \xleftrightarrow{SK} GW)$$

$$A_9: U| \equiv U \xleftrightarrow{HID_i} GW$$

$$A_{10}: GW| \equiv U \xleftrightarrow{HID_i} GW$$

$$A_{11}: SN| \equiv SN \xleftrightarrow{KS_j} GW$$

$$A_{12}: GW| \equiv SN \xleftrightarrow{KS_j} GW$$

۵,۲,۶ اثبات منطق BAN:

ما تحلیل منطق BAN از WSN-SLAP را به صورت زیر انجام می‌دهیم:

مرحله ۱: S1 را می‌توان از Msg1 بدست آورد.

$$S_1 : GW \triangleleft \{N_1, SID_j\}_{HID_i}$$

مرحله ۲: با استفاده از MMR با استفاده از S1 و A10 می‌توان S2 را القا کرد.

$$S_2 : GW| \equiv U| \sim (N_1, SID_j)$$

مرحله ۳: S_3 را می‌توان با استفاده از FR با استفاده از S_2 و A_1 القا کرد.

$$S_3 : GW| \equiv \#(N_1, SID_j)$$

مرحله ۴: S_4 را می‌توان با استفاده از NVR با استفاده از S_2 و S_3 القا کرد.

$$S_4 : GW| \equiv U| \equiv (N_1, SID_j)$$

مرحله ۵: S_5 توسط S_4 و BR القا می‌شود.

$$S_5 : GW| \equiv U| \equiv (N_1)$$

مرحله ۶: S_6 از Msg_2 بدست می‌آید.

$$S_6 : SN \triangleleft \{h(N_2||HID_i), N_1\}_{KS_j}$$

مرحله ۷: با استفاده از MMR با استفاده از S_6 و A_3 می‌توان S_7 را القا کرد.

$$S_7 : SN| \equiv GW| \sim (h(N_2||HID_i), N_1)$$

مرحله ۸: با استفاده از FR با استفاده از S_7 و A_3 می‌توان S_8 را القا کرد.

$$S_8 : SN| \equiv \#(h(N_2||HID_i), N_1)$$

مرحله ۹: با استفاده از NVR با استفاده از S_7 و S_8 می‌توان S_9 را القا کرد.

$$S_9 : SN| \equiv GW| \equiv (h(N_2||HID_i), N_1)$$

مرحله ۱۰: S_{10} از Msg_3 بدست می‌آید.

$$S_{10} : GW \triangleleft \{N_3\}_{KS_j}$$

مرحله ۱۱: با استفاده از MMR با استفاده از A_5 و S_8 می‌توان S_{11} را القا کرد.

$$S_{11} : GW | \equiv SN | \sim (N_3)$$

مرحله ۱۲: با استفاده از NVR با استفاده از S9 و S10 می‌توان S12 را القا کرد.

$$S_{12} : GW | \equiv SN | \equiv (N_3)$$

مرحله ۱۳: S13 و S14 می‌توانند توسط S9 و S12 القا شوند. SN و GW می‌توانند کلید جلسه $SK = h(h(N_2 || H$ را محاسبه کنند. $(ID_i) || N_3 || N_1$

$$S_{13} : GW | \equiv SN | \equiv (SN \xleftrightarrow{SK} GW) \quad (\text{Goal 8})$$

$$S_{14} : SN | \equiv GW | \equiv (SN \xleftrightarrow{SK} GW) \quad (\text{Goal 6})$$

مرحله ۱۴: S15 و S16 را می‌توان با استفاده از JR به ترتیب با استفاده از S13 و A8 و S14 و A7 القا کرد.

$$S_{15} : GW | \equiv (SN \xleftrightarrow{SK} GW) \quad (\text{Goal 7})$$

$$S_{16} : SN | \equiv (SN \xleftrightarrow{SK} GW) \quad (\text{Goal 5})$$

مرحله ۱۵: S17 از Msg4 بدست می‌آید.

$$S_{17} : U \triangleleft \{N_2, N_3\}_{HID_i}$$

مرحله ۱۶: S18 را می‌توان توسط A9، S17 و MMR القا کرد.

$$S_{18} : U | \equiv GW | \sim (N_2, N_3)$$

مرحله ۱۷: با استفاده از FR با استفاده از S18 و A4 می‌توان S19 را القا کرد.

$$S_{19} : U | \equiv \#(N_2, N_3)$$

مرحله ۱۸: S20 توسط S16، S17 و NVR القا می‌شود.

$$S_{20} : U | \equiv GW | \equiv (N_2, N_3)$$

مرحله ۱۹: S_{21} و S_{22} را می‌شود توسط S_5 ، S_{18} القا کرد. U و GW می‌توانند کلید جلسه $SK = h(h(N2 || H IDi))$ را محاسبه کنند.

$$S_{21} : U | \equiv GW | \equiv (U \xleftrightarrow{SK} GW) \quad (\text{Goal 2})$$

$$S_{22} : GW | \equiv U | \equiv (U \xleftrightarrow{SK} GW) \quad (\text{Goal 4})$$

مرحله ۲۰: S_{23} و S_{24} را می‌توان با استفاده از JR به ترتیب با استفاده از S_{21} و A_5 ، S_{22} و A_6 القا کرد.

$$S_{23} : U | \equiv (U \xleftrightarrow{SK} GW) \quad (\text{Goal 1})$$

$$S_{24} : GW | \equiv (U \xleftrightarrow{SK} GW) \quad (\text{Goal 3})$$

۳،۶ مدل ROR:

این بخش با استفاده از مدل شناخته شده Real-Or-Random (ROR) امنیت کلید جلسه WSN-SLAP را اثبات می‌کند [۹]. در WSN-SLAP، سه شرکت کننده وجود دارد. $Pt1U$ یک کاربر، $Pt2GW$ یک دروازه است و $Pt2GW$ یک گره حسگر است. در مدل ROR، شبکه تحت یک دشمن A قرار دارد که می‌تواند پیام‌ها را شنود، ضبط، درج و حذف کند. با این توانایی‌ها، A حملات مختلفی را با استفاده از پرس و جوهای Execute، CorruptSC، Send، Reveal و Test انجام می‌دهد.

• Execute: این کوئری یک حمله منفعل است که A می‌تواند پیام شخص حقوقی را استراق سمع کند.

• CorruptSC: این سery به این معنی است که A پارامترهای ذخیره شده را از کارت هوشمند کاربر به دست می‌آورد.

• Reveal: این عبارت به معنای A است که کلید جلسه SK را نشان می‌دهد.

• Send: این کوئری یک حمله فعال است که A برای دریافت پیام پاسخ پیامی ارسال می‌کند.

• تست: یک حریف A قبل از شروع بازی سکه بی طرفانه بدست می‌آورد. اگر $A c = 1$ بدست آورد، به این معنی است که کلید جلسه SK تازه است. اگر $A c = 0$ بدست آورد، به این معنی است که کلید جلسه تازه نیست. در غیر این صورت، A مقدار NULL بدست می‌آورد. برای اطمینان از امنیت کلید جلسه، لازم است که A نتواند مقدار نتیجه را بین یک عدد تصادفی و کلید جلسه تشخیص دهد.

اثبات امنیت:

قضیه ۱. اجازه دهید تلاش برای بدست آوردن کلید جلسه WSN-SLAP در زمان چند جمله‌ای به شرح زیر باشد. Adv_A (Poly) به ترتیب احتمال شکسته شدن کلید جلسه توسط q_{2h} , A , q_{send} و $HASH$ به ترتیب تعداد پرسشهای هش، فضای محدوده عملکرد هش و تعداد پرسشهای ارسال است. s_0 و C_0 پارامترهای Zipf هستند [۳۴].

$$Adv_A(Poly) \leq \frac{q_h^2}{|HASH|} + 2\{C'q_{send}'\}$$

ما طبق روش [۳۵، ۳۶] از اثبات پیروی می‌کنیم. ما چهار بازی $Game_k$ را انجام می‌دهیم، جایی که $k \in [0, Succ_A]$. $Game_k$ رویدادی است که A می‌تواند یک بیت صحیح c را در $Game_k$ حدس بزند، و $Pr[Succ_A, Game_k]$ احتمال $Succ_A, Game_k$ است. با این پارامترها می‌توانیم $Game_k$ را به صورت زیر انجام دهیم.

- $Game_0$: این بازی حمله واقعی A در WSN-SLAP تحت مدل ROR را توصیف می‌کند. قبل از شروع بازی باید بیت تصادفی c انتخاب شود. بنابراین، می‌توانیم به شرح زیر استنتاج کنیم.

$$Adv_A(Poly) = |2Pr[Succ_{A, Game_0}] - 1| \quad (1)$$

- $Game_1$: در $Game_1$ ، A با استفاده از $Execute$ پیام‌های موجودیت $\{PID_i, V_1\}, M_1, S_i, \{M_3, M_2, M_4, V_2\}$ را به دست می‌آورد. پرس و جو. سپس، A پرسش‌های $Test$ and $Reveal$ را برای به دست آوردن کلید جلسه SK انجام می‌دهد. از آنجا که $SK = h(h(N_2 || H ID_i) || N_3 || N_1)$ باید موارد غیر تصادفی N_1, N_2 و N_3 بدست آورد. علاوه بر این، A به هویت پوشیده‌کاربر $H ID_i$ نیاز دارد. به همین دلیل، A نمی‌تواند SK را محاسبه کند. این بدان معنی است که $Game_0$ و $Game_1$ قابل تشخیص نیستند. بنابراین، می‌توانیم معادل زیر را بدست آوریم.

$$Pr[Succ_{A, Game_1}] = Pr[Succ_{A, Game_0}] \quad (2)$$

- $Game_2$: در این بازی، A جستجوی $Send$ را انجام می‌دهد که یک حمله فعال است. A با استفاده از $\{PID_i, V_1\}, M_1, S_i, \{M_3, M_2, M_4, V_2\}$ پارامترهای $\{V_4, M_6, M_5, P_i\}$ و $\{V_3, \{M_4, V_2\}, M_3, M_2, \{PID_i, V_1\}\}$ برای دریافت کلید جلسه SK . پارامترهای V_1, V_2, V_3 و V_4 توسط پرس و جو $HASH$ پوشانده می‌شوند. علاوه بر این، پارامترهای $PID_i, M_1, M_2, M_3, M_4, M_5, M_6$ و P_i حاوی موارد غیر تصادفی N_1, N_2 و N_3 هستند. با استفاده از ناچ‌های تصادفی، می‌توانیم از جلسات دیگر جلوگیری کنیم. با توجه به پارادوکس تولد [۳۷]، می‌توانیم نابرابری زیر را بدست آوریم.

$$|Pr[Succ_{A,Game_2}] - Pr[Succ_{A,Game_1}]| \leq \frac{q_h^2}{|HASH|} \quad (3)$$

– Game3: در Game3، A با استفاده از حمله تحلیل قدرت، پارامترهای ذخیره شده کارت هوشمند $\{SR_i, SH\ ID_i, Vi\}$ را به دست می‌آورد، جایی که $SR_i = Ri \oplus h(ID_i \parallel PW_i)$ ، $SH\ ID_i = H\ ID_i \oplus h(PW_i \parallel ID_i \parallel Ri)$ و $Vi = h(APW_i \parallel ID_i \parallel Ri)$ (و $Vi = h(x \parallel kGWN)$ و $PID_i = H\ ID_i \oplus h(x \parallel kGWN)$). برای به دست آوردن Ri و $H\ ID_i$ ، A به شناسه هویت و رمز عبور PW_i نیاز دارد. بنابراین، A نمی‌تواند با Game2 و Game3 تشخیص دهد که آیا حدس زدن PW_i از نظر محاسباتی یک کار غیرقابل اجرا است. سپس، می‌توانیم با استفاده از قانون Zipf نتیجه را بدست آوریم [۳۴].

$$|Pr[Succ_{A,Game_3}] - Pr[Succ_{A,Game_2}]| \leq C' q_{send}^{s'} \quad (4)$$

سرانجام، A بیت حدس زده شده C را بدست می‌آورد زیرا بازی‌ها تمام شده‌اند.

$$Pr[Succ_{A,Game_3}] = \frac{1}{2} \quad (5)$$

علاوه بر این، با استفاده از (۱) و (۲) می‌توانیم نتیجه زیر را بدست آوریم.

$$\frac{1}{2} Adv_A(Poly) = |Pr[Succ_{A,Game_0}] - \frac{1}{2}| = |Pr[Succ_{A,Game_1}] - \frac{1}{2}| \quad (6)$$

با استفاده از (۵) و (۶) معادله زیر را بدست می‌آوریم.

$$\frac{1}{2} Adv_A(Poly) = |Pr[Succ_{A,Game_1}] - Pr[Succ_{A,Game_3}]| \quad (7)$$

با استفاده از نابرابری مثلثی نتیجه زیر را بدست می‌آوریم.

$$\begin{aligned} \frac{1}{2} Adv_A(Poly) &= |Pr[Succ_{A,Game_1}] - Pr[Succ_{A,Game_3}]| \\ &\leq |Pr[Succ_{A,Game_1}] - Pr[Succ_{A,Game_2}]| \\ &\quad + |Pr[Succ_{A,Game_2}] - Pr[Succ_{A,Game_3}]| \\ &\leq \frac{q_h^2}{2|HASH|} + C' q_{send}^{s'} \end{aligned} \quad (8)$$

با ضرب (۸) در ۲، نتیجه زیر را بدست می آوریم.

$$Adv_A(Poly) \leq \frac{q_h^2}{|HASH|} + 2\{C'q_{send}'\}$$

۴,۶ شبیه سازی AVISPA:

در این بخش، ما با استفاده از [10, AVISPA, 11] ویژگی‌های امنیتی WSN-SLAP را تجزیه و تحلیل می‌کنیم. AVISPA یک ابزار رسمی تأیید امنیت است که MITM را شناسایی کرده و حملات را بر علیه پروتکل احراز هویت پخش می‌کند. AVISPA از زبان مشخصات پروتکل‌های سطح بالا (HLPSL) استفاده می‌کند. پس از دریافت پروتکل نوشته شده در HLPSL، مترجم پروتکل مبتنی بر HLPSL را به قالب متوسط (IF) تبدیل می‌کند. سپس، مترجم ورودی IF را به چهار قسمت انتهایی وارد می‌کند که عبارتند از: Tree Automata, Constraint Logic-Attack Searcher (CL-AtSe) براساس تقریب خودکار برای تجزیه و تحلیل پروتکل امنیتی (TA4SP, SAT-based Model Checker (SATMC)) و On-fly Model-Checker (OFMC) به ترتیب. در نتیجه، IF به یک قالب خروجی (OF) تبدیل می‌شود. اگر خلاصه OF SAFE باشد، به این معنی است که پروتکل در برابر حملات مجدد و MITM مقاومت دارد. به طور خاص، -OFMC back-end می‌تواند از عملیات XOR استفاده کند. بنابراین، ما از این نتیجه نهایی در مقاله خود استفاده می‌کنیم.

۴,۶,۱. مشخصات HLPSL:

در HLPSL WSN-SLAP از کاربران UA, GWN دروازه و گره‌های حسگر SN تشکیل شده است. این موجودیت‌ها به عنوان نقش نوشته می‌شوند. همچنین دو نقش ترکیب به نام جلسه و محیط وجود دارد که شامل اهداف امنیتی است. شکل ۸ اهداف و نقش جلسه و محیط WSN-SLAP را نشان می‌دهد. شکل ۹ کل فرآیند UA کاربر را نشان می‌دهد. در حالت ۱، کاربر UA در GWN ثبت نام می‌کند. برای شروع جلسه، UA پیام شروع را دریافت می‌کند. سپس، UA از طریق یک کانال امن یک پیام درخواست ثبت نام $\{ID_i\}$ را به GWN دروازه می‌فرستد. در حالت ۲، UA یک کارت هوشمند از GWN دریافت می‌کند و $\{R_i, SR_i, SH ID_i, Vi\}$ را در کارت هوشمند ذخیره می‌کند. در مرحله ورود و تأیید اعتبار، UA از طریق یک کانال عمومی $\{Si, PID_i, M1, V1\}$ را به GWN ارسال می‌کند. شاهد عملکرد (UA, GWN, N10_ua_gw_n1) نشان دهنده طراوت N1 تولید شده توسط UA است. در حالت ۳، $\{Pi, UA, M5, M6, V4\}$ را از GWN دریافت می‌کند. سپس، UA با استفاده از N2 درخواستی (UA, GWN, N02_gw_ua_n3) با GWN احراز هویت می‌کند.

```
role session(UA, SN, GWN : agent, SKuagwn, SKsngwn : symmetric_key, H: hash_func)
def=
local SN1, SN2, SN3, RV1, RV2, RV3: channel(dy)
composition
user(UA, SN, GWN, SKuagwn, SKsngwn, H, SN1, RV1)
 $\wedge$  sen(UA, SN, GWN, SKuagwn, SKsngwn, H, SN2, RV2)
 $\wedge$  gate(UA, SN, GWN, SKuagwn, SKsngwn, H, SN3, RV3)
end role

role environment()
def=
const ua, sn, gwn : agent,
skuagwn, sksngwn: symmetric_key,
h: hash_func,
idi, pidi, sidj: text,
ua_gw_n1, gw_sn_n2, sn_gw_n3, gw_ua_n3: protocol_id,
sp1, sp2, sp3, sp4, sp5, sp6: protocol_id
intruder_knowledge = {idi, pidi, sidj, h}
composition
session(ua, sn, gwn, skuagwn, sksngwn, h)/session(i, sn, gwn, skuagwn, sksngwn, h)
 $\wedge$ session(ua, i, gwn, skuagwn, sksngwn, h)
 $\wedge$ session(ua, sn, i, skuagwn, sksngwn, h)
end role

goal
secrecy_of sp1, sp2, sp3, sp4, sp5, sp6
authentication_on ua_gw_n1
authentication_on gw_sn_n2
authentication_on sn_gw_n3
authentication_on gw_ua_n3
end goal

environment()
```

شکل 8. نقش جلسه ، محیط و هدف


```

role user(UA, SN, GWN: agent, SKuagwn, SKangwn : symmetric_key, H: hash_func, SND, RCV : channel(dy))

played_by UA
def=
local State: nat.
  IDi, PWi, X, Rg, PIDI, APWi, Ri, SRi, SHIDi, Vi, HIDi, Kgwn, SIDj, Rj, KSj: text.
  N1, Si, M1, V1, N2, M2, M3, V2, N3, SK, M4, V3, Xnew, PIDInew, Mpid, M5, M6, V4: text

const sp1, sp2, sp3, sp4, sp5, sp6, ua_gw_n1, gw_sn_n2, sn_gw_n3, gw_ua_n3: protocol_id
init State := 0
transition

%%Registration phase
1. State = 0 ^ RCV(start) =>
State' := 1 ^ SND((IDi)_SKuagwn)
  ^ secret((IDi), sp1, {UA,GWN})

%%Recieve smartcard
2. State = 1 ^ RCV ((xor(H(IDi.Rg),H(X.Kgwn))H(IDi.Rg))_SKuagwn)=>
State' := 2 ^ Rj := new() ^ APWi := H(PWi.Ri)
  ^ SRj := xor(Rj, H(IDi.PWi))
  ^ SHIDj := xor(H(IDi.Rg), H(PWi.IDi.Rj))
  ^ Vj := H(APWi.IDi.Rj)
  ^ secret((Rj,PWi), sp2, UA)

%%Login & Authentication phase
^ N1' := new() ^ Si' := xor(SIDj, H(xor(H(IDi.Rg),H(X.Kgwn))H(IDi.Rg)))
^ M1' := xor(N1', H(H(IDi.Rg).xor(H(IDi.Rg),H(X.Kgwn))))
^ V1' := H(SIDj.xor(H(IDi.Rg),H(X.Kgwn)).N1'.H(IDi.Rg))
  ^ SND(xor(H(IDi.Rg),H(X.Kgwn)).Si'.M1'.V1')
  ^ witness(UA,GWN,ua_gw_n1,N1')

3. State = 2 ^ RCV(xor(xor(H(IDi.Rg),H(H(X.N2).Kgwn)), H(N1'.H(IDi.Rg))).xor(N2', H(H(IDi.Rg).SIDj.N1')).xor(N3',
H(N2'.H(IDi.Rg).xor(H(IDi.Rg),H(H(X.N2).Kgwn)))):H(N2'.N3'.xor(H(IDi.Rg),H(H(X.N2).Kgwn))H(H(N2'.H(IDi.Rg)).N3'.N1')))) =>
State' := 3 ^ request(GWN,UA_gw_ua_n3, N2')
end role

```

شکل 9. نقش کاربر

۲,۴,۶ نتیجه شبیه سازی:

اگر خلاصه نتیجه پروتکل در شبیه سازی OFMC SAFE باشد، پروتکل در برابر حملات پخش و MITM مقاومت دارد. نتیجه ابزار شبیه سازی AVISPA WSN-SLAP با استفاده از OFMC back-end در شکل ۱۰ نشان داده شده است. بنابراین، WSN-SLAP می تواند از حملات پخش و MITM جلوگیری کند.

```
% OFMC
% Version of 2006/02/13
SUMMARY
SAFE
DETAILS
BOUNDED_NUMBER_OF_SESSIONS
PROTOCOL
/home/span/span/testsuite/results/dk.if
GOAL
as_specified
BACKEND
OFMC
COMMENTS
STATISTICS
parseTime: 0.00s
searchTime: 26.60s
visitedNodes: 2704 nodes
depth: 12 plies
```

شکل 10. نتیجه تأیید خودکار پروتکل‌ها و برنامه‌های امنیتی اینترنت (AVISPA). شبیه‌سازی

۷. تحلیل عملکرد:

در این بخش، ما هزینه‌های محاسباتی، هزینه‌های ارتباطی و خصوصیات امنیتی WSN-SLAP را در مقایسه با طرح‌های مرتبط موجود تخمین می‌زنیم [۶،۲۷،۲۸،۳۱].

۷،۱ هزینه‌های محاسباتی

ما هزینه محاسباتی WSN-SLAP را در مقایسه با عملکرد طرح‌های مربوطه تجزیه و تحلیل می‌کنیم [۶،۲۷،۲۸،۳۱]. طبق [۶،۳۸]، زمان اجرای هر عملیات در رایانه‌ای با پردازنده چهار هسته‌ای ۳،۲ گیگاهرتز و ۸ گیگابایت حافظه بدست می‌آید. ما تخمین می‌زنیم که T_{ecm} ، T_{th} و T_{sym} به ترتیب زمان اجرای تابع هش (۰،۰۰۰۳۲ ۰۰۰ s)، ضرب نقطه (ECC (0170 s s 0 و رمزگذاری / رمزگشایی متقارن (۰،۰۰۵۶۳ ثانیه) است. ما زمان اجرای عملیات XOR را در نظر نمی‌گیریم زیرا قابل اغماض است.

جدول ۳ نتیجه هزینه‌های محاسباتی را نشان می‌دهد. بر این اساس، WSN-SLAP هزینه محاسباتی کارآمدتری نسبت به طرح‌های مرتبط دارد [۶،۲۷،۲۸،۳۱].

Table 3. Computational costs comparison.

Schemes	User	Gateway	Sensor Node	Total	Total Cost (s)
Choi et al. [27]	$9T_h + 3T_{ecm}$	$6T_h + 2T_{ecm}$	$5T_h + 1T_{ecm}$	$20T_h + 6T_{ecm}$	0.109
Wu et al. [28]	$12T_h + 2T_{ecm} + 1T_{sym}$	$11T_h + 2T_{sym}$	$4T_h + 2T_{ecm} + 1T_{sym}$	$27T_h + 4T_{ecm} + 4T_{sym}$	0.09944
Wu et al. [31]	$13T_h + 2T_{ecm}$	$13T_h$	$4T_h + 2T_{ecm}$	$30T_h + 4T_{ecm}$	0.078
Moghadam et al. [6]	$5T_h + 3T_{ecm} + 2T_{sym}$	$5T_h + 3T_{ecm} + 2T_{sym}$	$3T_h + 2T_{ecm}$	$13T_h + 8T_{ecm} + 4T_{sym}$	0.16336
Ours	$13T_h$	$18T_h$	$6T_h$	$37T_h$	0.01184

۲،۷ هزینه‌های ارتباطی:

ما هزینه ارتباط WSN-SLAP را در مقایسه با طرح‌های مرتبط [۶،۲۷،۲۸،۳۱] در این بخش ارزیابی می‌کنیم. طبق [۶]، تعریف می‌کنیم که هویت کاربر، هویت گره حسگر، عدد تصادفی، زمان سنجی، هش SHA-1 و نقطه ECC به ترتیب ۱۲۸، ۱۶، ۳۲، ۱۶۰ و ۳۲۰ بیت است. در WSN-SLAP، پیام درخواست ورود به سیستم $\{PID_i, Si, M1, V1\}$ (160 + 160 + 160 + 160 = 640 بیت) و پیام‌های احراز هویت ارسال شده $\{M3, M2, PID_i\}$ ، $\{M4, V2\}$ ، $\{V3, M5, M6, Pi\}$ و $\{V4\}$ نیاز به $(160 + 160 + 160 + 160 = 640)$ بیت، $(160 + 160 = 320)$ بیت و $(160 + 160 + 160 + 160 = 640)$ بیت است. در نتیجه، کل هزینه‌های ارتباطی WSN-SLAP و طرح‌های مربوطه [۶،۲۷،۲۸،۳۱] در جدول ۴ نشان داده شده است. بنابراین، WSN-SLAP هزینه ارتباطی کارآمدتری را نسبت به طرح‌های مرتبط فراهم می‌کند [۶،۲۷،۲۸،۳۱].

جدول ۴. مقایسه هزینه‌های ارتباطی.

Schemes	Communication Costs	Number of Messages
Choi et al. [27]	3200 bits	4 messages
Wu et al. [28]	3296 bits	4 messages
Wu et al. [31]	3392 bits	4 messages
Moghadam et al. [6]	2512 bits	4 messages
Ours	2240 bits	4 messages

۳،۷ ویژگی‌های امنیتی:

در جدول ۵، ویژگی‌های امنیتی WSN-SLAP را با طرح‌های مرتبط ارائه دادیم [۶،۲۷،۲۸،۳۱]. ما نشان می‌دهیم که پروتکل‌های موجود [۶،۲۷،۲۸،۳۱] از حملات مختلفی رنج می‌برند، از جمله درونی، کارت هوشمند دزدیده شده و حملات نشت تعداد تصادفی خاص-جلسه. در پایان، WSN-SLAP عملکرد و ویژگی‌های امنیتی بهتری را در مقایسه با برنامه‌های مربوطه ارائه کرد [۶،۲۷،۲۸،۳۱].

جدول ۵. ویژگی‌های امنیتی

اجزا امنیتی	Choi et al. [27]	Wu et al. [28]	Wu et al. [31]	Moghadam et al. [6]	کار ما
حمله داخلی	○	○	×	×	○
حمله کارت هوشمند سرقت شده	×	×	×	○	○
پخش مجدد حمله	○	○	○	○	○
حمله تسخیر گره سنسور	○	○	○	○	○
حمله حدس رمز خط‌خاموش	×	×	○	○	○
حمله خودی خاص	○	○	×	○	○
حمله تأیید کننده سرقت	×	○	○	○	○
حمله MITM	○	○	×	○	○
شماره تصادفی خاص جلسه نشتی	×	×	×	×	○
محرمانگی پیشرو کامل	○	○	○	×	○
احراز هویت متقابل	○	○	○	○	○

○: این در برابر حمله ×: نامن در برابر حمله

۸. نتیجه گیری:

در این مقاله، یافتیم که طرح مقدم و همکاران دارای آسیب‌پذیری‌هایی در برابر حملات نشتی تعداد تصادفی خاص-جلسه است. همچنین ثابت کردیم که طرح مقدم و همکاران محرمانگی کامل را تضمین نمی‌کند. برای رفع نقاط ضعف امنیتی طرح مقدم و همکاران، یک پروتکل احراز هویت متقابل امن و سبک را برای محیط‌های WSN ارائه کردیم. WSN-SLAP در برابر حملات مختلف از جمله خودی، کارت هوشمند دزدیده شده، حدس رمز خط-خاموش، تأیید کننده سرقت و حملات نشت تعداد تصادفی خاص-جلسه مقاومت نشان می‌دهد. همچنین نشان دادیم که WSN-SLAP محرمانگی کامل و احراز هویت متقابل را برایمان فراهم می‌کند. امنیت WSN-SLAP را با استفاده از تحلیل رسمی امنیتی AVISPA، منطق BAN و مدل ROR، ثابت کردیم. علاوه بر این، WSN-SLAP دارای هزینه‌های محاسباتی و ارتباطی سبک است زیرا شامل عملیات XOR و توابع hash می‌باشد. بنابراین، WSN-SLAP پیشنهادی خدمات ارتباطی امن‌تر و کارآمدتری را در مقایسه با پروتکل‌های مرتبط موجود ارائه می‌دهد.

و برای محیط‌های WSN مناسب است. در کارهای آینده، ما شبکه‌ای کامل با پروتکل‌های امنیتی‌اش را برای اجرا و پیاده‌سازی در WSN طراحی خواهیم کرد.

منابع :

1. Mandal, S.; Bera, B.; Sutrala, A.K.; Das, A.K.; Choo, K.K.R.; Park, Y. Certificateless-signcryption-based three-factor user access control scheme for IoT environment. *IEEE Internet Things J.* 2020, 7, 3184–3197.
2. Yu, S.; Park, Y. SLUA-WSN: Secure and lightweight three-factor-based user authentication protocol for wireless sensor networks. *Sensors* 2020, 20, 4143. [CrossRef]
3. Ghahramani, M.; Javidan, R.; Shojafar, M.; Taheri, R.; Alazab, M.; Tafazolli, R. RSS: An energy-efficient approach for securing IoT service protocols against the DoS attack. *IEEE Internet Things J.* 2020, doi:10.1109/JIOT.2020.3023102.
4. Park, K.; Noh, S.; Lee, H.; Das, A.K.; Kim, M.; Park, Y.; Wazid, M. LAKS-NVT: Provably secure and lightweight authentication and key agreement scheme without verification table in medical internet of things. *IEEE Access* 2020, 8, 119387–119404. [CrossRef]
5. Lee, J.; Yu, S.; Park, K.; Park, Y.; Park, Y. Secure three-factor authentication protocol for multi-gateway IoT environments. *Sensors* 2019, 19, 2358. [CrossRef] [PubMed]
6. Moghadam, M.F.; Nikooghadam, M.; Al Jabban, M.A.B.; Alishahi, M.; Mortazavi, L.; Mohajerzadeh, A. An efficient authentication and key agreement scheme based on ECDH for wireless sensor network. *IEEE Access* 2020, 8, 73182–73192. [CrossRef]
7. Coron, J.S. Resistance against differential power analysis for elliptic curve cryptosystems. In *Proceedings of the 1st International Workshop on Cryptographic Hardware and Embedded Systems, Worcester, MA, USA, 12–13 August 1999*; pp. 292–302.
8. Burrows, M.; Abadi, M.; Needham, R.M. A logic of authentication. *ACM Trans. Comput. Syst.* 1990, 8, 18–36. [CrossRef]
9. Abdalla, M.; Fouque, P.; Pointcheval, D. Password-based authenticated key exchange in the three-party setting. In *Proceedings of the 8th International Workshop on Theory and Practice in Public Key Cryptography (PKC'05), Lecture Notes in Computer Science (LNCS), Les Diablerets, Switzerland, 23–26 January 2005*; pp. 65–84.
10. AVISPA. Automated Validation of Internet Security Protocols and Applications. Available online: <http://www.avispa-project.org/> (accessed on 4 December 2020).

11. SPAN: A Security Protocol Animator for AVISPA. Available online: <http://www.avispa-project.org/> (accessed on 4 December 2020).
12. Dolev, D.; Yao, A. On the security of public key protocols. *IEEE Trans. Inf. Theory* 1983, 29, 198–208. [CrossRef]
13. Canetti, R.; Krawczyk, H. Universally composable notions of key exchange and secure channels. In *Proceedings of the International Conference on the Theory and Applications of Cryptographic Techniques—Advances in Cryptology (EUROCRYPT'02)*, Amsterdam, The Netherlands, 28 April–2 May 2002; pp. 337–351.
14. Kocher, P.; Jaffe, J.; Jun, B. Differential power analysis. In *Proceedings of the Annual International Cryptology Conference*, Santa Barbara, CA, USA, 15–19 August 1999; pp. 388–397.
15. Yu, S.; Lee, J.; Lee, K.; Park, K.; Park, Y. Secure authentication protocol for wireless sensor networks in vehicular communications. *Sensors* 2018, 18, 3191. [CrossRef] [PubMed]
16. Fu, X.; Fortino, G.; Li, W.; Pace, P.; Yang, Y. WSNs-assisted opportunistic network for low-latency message forwarding in sparse settings. *Future Gener. Comput. Syst.* 2019, 91, 223–237. [CrossRef]
17. Fu, X.; Fortino, G.; Pace, P.; Aloï, G.; Li, W. Environment-fusion multipath routing protocol for wireless sensor networks. *Inf. Fusion* 2020, 53, 4–19. [CrossRef]
18. Lee, J.; Yu, S.; Kim, M.; Park, Y.; Das, A.K. On the design of secure and efficient three-factor authentication protocol using honey list for wireless sensor networks. *IEEE Access* 2020, 8, 107046–107062. [CrossRef]
19. Fu, X.; Pace, P.; Aloï, G.; Yang, L.; Fortino, G. Topology optimization against cascading failures on wireless sensor networks using a memetic algorithm. *Comput. Netw.* 2020, 177, 107327. [CrossRef] *Sensors* 2021, 21, 936 23 of 23
20. Lamport, L. Password authentication with insecure communication. *Commun. ACM* 1981, 24, 770–772. [CrossRef]
21. Wong, K.H.; Zheng, Y.; Cao, J.; Wang, S. A dynamic user authentication scheme for wireless sensor networks. In *Proceedings of the IEEE International Conference on Sensor Networks, Ubiquitous, and Trustworthy Computing (SUTC)*, Taichung, Taiwan, 5–7 June 2006; pp. 1–8.
22. Tseng, H.R.; Jan, R.H.; Yang, W. An improved dynamic user authentication scheme for wireless sensor networks. In *Proceedings of the IEEE Globecom*, Washington, DC, USA, 26–30 November 2007; pp. 986–990.
23. Das, M.L. Two-factor user authentication in wireless sensor networks. *IEEE Trans. Wirel. Commun.* 2009, 8, 1086–1090. [CrossRef]

24. Khan, M.K.; Alghathbar, K. Cryptanalysis and security improvements of ‘two-factor user authentication in wireless sensor networks’. *Sensors* 2010, 10, 2450–2459. [CrossRef]
25. He, D.; Gao, Y.; Chan, S.; Chen, C.; Bu, J. An enhanced two-factor user authentication scheme in wireless sensor networks. *Ad Hoc Sens. Wirel. Netw.* 2010, 10, 361–371.
26. Yeh, H.L.; Chen, T.H.; Liu, P.C.; Kim, T.H.; Wei, H.W. A secured authentication protocol for wireless sensor networks using elliptic curves cryptography. *Sensors* 2011, 11, 4767–4779. [CrossRef]
27. Choi, Y.; Lee, D.; Kim, J.; Jung, J.; Nam, J.; Won, D. Security enhanced user authentication protocol for wireless sensor networks using elliptic curves cryptography. *Sensors* 2014, 14, 10081–10106. [CrossRef]
28. Wu, F.; Xu, L.; Kumari, S.; Li, X. A new and secure authentication scheme for wireless sensor networks with formal proof. *Peer-to-Peer Netw. Appl.* 2017, 10, 16–30. [CrossRef]
29. Nam, J.; Kim, M.; Paik, J.; Lee, Y.; Won, D. A provably-secure ECC-based authentication scheme for wireless sensor networks. *Sensors* 2014, 14, 21023–21044. [CrossRef] [PubMed]
30. Jiang, Q.; Ma, J.; Wei, F.; Tian, Y.; Shen, J.; Yang, Y. An untraceable temporal-credential-based two-factor authentication scheme using ECC for wireless sensor networks. *J. Netw. Comput. Appl.* 2016, 76, 37–48. [CrossRef]
31. Wu, F.; Xu, L.; Kumari, S.; Li, X. A privacy-preserving and provable user authentication scheme for wireless sensor networks based on Internet of Things security. *J. Ambient. Intell. Humaniz. Comput.* 2017, 8, 101–116. [CrossRef]
32. Ghahramani, M.; Javidan, R.; Shojafar, M. A secure biometric-based authentication protocol for global mobility networks in smart cities. *J. Supercomput.* 2020, 76, 8729–8755. [CrossRef]
33. Yu, S.; Lee, J.; Park, Y.; Park, Y.; Lee, S.; Chung, B. A secure and efficient three-factor authentication protocol in global mobility networks. *Appl. Sci.* 2020, 10, 3565. [CrossRef]
34. Wang, D.; Cheng, H.; Wang, P.; Huang, X.; Jian, G. Zipf’s law in passwords. *IEEE Trans. Inf. Forensics Secur.* 2017, 12, 2776–2791. [CrossRef]
35. Wazid, M.; Bagga, P.; Das, A.K.; Shetty, S.; Rodrigues, J.J.; Park, Y. AKM-IoV: Authenticated key management protocol in fog computing-based internet of vehicles deployment. *IEEE Internet Things J.* 2019, 6, 8804–8817. [CrossRef]
36. Yu, S.; Lee, J.; Park, K.; Das, A.K.; Park, Y. IoV-SMAP: Secure and efficient message authentication protocol for IoV in smart city environment. *IEEE Access* 2020, 8, 167875–167886. [CrossRef]
37. Boyko, V.; MacKenzie, P.; Patel, S. Provably secure password-authenticated key exchange using Diffie-Hellman. In *Proceedings of the International Conference on the Theory and Applications of Cryptographic Techniques*, Bruges, Belgium, 14–18 May 2000; pp. 156–171.

38. Lee, C.C.; Chen, C.T.; Wu, P.H.; Chen, T.Y. Three-factor control protocol based on elliptic curve cryptosystem for universal serial bus mass storage devices. IET Comput. Digit. Tech. 2013, 7, 48–55.